#### ING. GIACOMO DEL NERO

INGEGNERE CIVILE, AMBIENTALE ED EDILE RSPP, CSP, CSE

Idraulica Geotecnica, miniere, cave Impianti Progettazione e direzioni lavori Coordinamento della Sicurezza Certificazioni Energetiche Perizie

Edilizia

Pianificazione

Sede Legale: Via Venezia,1
54033 Marina di Carrara (MS)

Sede Operativa:

Via Provinciale Carrara-Avenza, 34 54033 Carrara (MS)

tel. +39 0585.788459 cel. +39 327 3750954

e-mail:

giacomo.delnero@gmail.com giacomo.delnero@ingpec.eu

_						
D	ro	20	0	+	+	^

PIANO DI COLTIVAZIONE AI SENSI DELL'ART.23 COMMA 1 L.R.35/15 E S.M.I. CAVA N.39 FOSSA DEGLI ANGELI BACINO N°2 TORANO -BACINI DI CARRARA - COMUNE DI CARRARA (MS)

Titolo documento:

### RELAZIONE GEOMECCANICA DI STABILITA'

ART.4 COMMA 1 DPGR 72/R (ART.17 COMMA 1 LETT. C) L.R. 35/15)

MARMI CARRARA LORANO SRL Committente:

Località: Comune/i: Provincia: CAVA N.39 FOSSA DEGLI ANGELI BACINO N°2 TORANO CARRARA MASSA CARRARA SCHEDA PIT/PPR N°15

## Il Legale Rappresentate

Sig. Mario ROSSI

Il Tecnico

Dott. Ing. Giacomo DEL NERO

OTTOBRE 2025

RELAZIONE TECNICA	Tipologia	Numero	Pagine:	Denominazione file:	Allegati:
REEAZIONE TECNICA	GE0	008.00.22	49	stabilità_piano25_cava39_ott25	Tavole Grafiche

Carrara RELAZIONE GEOMECCANICA DI STABILITA' GEO 008.00.22

## **SOMMARIO**

so	SOMMARIO	3
1.	1. PREMESSA	5
2.	2. METODOLOGIA DI VERIFICA	5
3.	3. LOCALIZZAZIONE GEOGRAFICO-TOPOGRAFICA	6
	3.1. STATO DI PROGETTO, TAV. 8B	
	3.2. ORIENTAZIONE FRONTI, CAMERE, TRACCIAMENTI	
	4. CARATTERISTICHE GEOMECCANICHE	
	4.1. CARATTERIZZAZIONE DELLA ROCCIA INTATTA	
	4.2.1. caratteri strutturali di rilievo	
	4.2.2. rilievo strutturale	
	4.2.2.1. elaborazione dei dati raccolti	9
	4.3. CARATTERIZZAZIONE GEOMECCANICA	
	4.3.1. classificazione di bieniawski (1989)	
	4.3.2. definizione del gsi (1997)	
	4.3.4. resistenza post-picco	
	4.3.5. caratteristiche di resistenza delle discontinuità	
5.		
	5.1. AZIONI	
	combinazione delle azioni	
	5.3. VERIFICHE AGLI STATI LIMITE ULTIMI (SLU)	
	5.4. AZIONI	
	5.5. PARAMETRI GEOTECNICI E RESISTENZE	18
	5.6. FRONTI E TECCHIE	
	5.7. CANTIERE SOTTERRANEO	
	5.8. SISTEMI DI CONSOLIDAMENTO (EVENTUALI)	
	5.9. AZIONI DOVUTE AL SISMAvita nominale, classe d'uso e periodo di riferimento	
	tempo di ritorno del sisma	
	categoria di sottosuolo	
	5.9.1. condizioni topografiche	
	5.9.2. valutazione dell'azione sismica	21
	5.10. VALORI DI CALCOLO	23
6.	6. ANALISI DI STABILITÀ DEI FRONTI	24
	6.1. VERIFICHE DEI FRONTI	27
	fronte orientato N 045 subverticale esposto NW	
	fronte orientato N 045 subverticale esposto SE	
	fronte orientato N 0135 subverticale esposto SW	
	6.2. EFFETTI DELLE DISCONTINUITÀ SULLA POSIZIONE DEI FRONTI	29
7.	7. VERIFICA DEI CANTIERI SOTTERRANEI	30
	7.1.1. verifica generale della soletta di copertura	31
	7.2. ANALISI STATISTICA DEI CUNEI TRIDIMENSIONALI	
	7.2.1. tracciamento N 045-225/00	
	7.2.2. tracciamento N 135-315/00	
	7.2.3. osservazioni ai cinematismi tridimensionali	
	7.3. VERIFICHE STRUTTURALI DEI PILASTRI E DEI DIAFRAMMI	
	7.4. PROGETTO IMPIANTO DI VENTILAZIONE	
	7.4.2. impianto di ventilazione di progetto	
	7.5. MONITORAGGI STRUTTURALI	
ΔΙ	ALLEGATI	Δ1

Carrara	RELAZIONE GEOMECCANICA DI STABILITA'	GEO 008.00.22
		'
	VERIFICHE CINEMATISMI PLANARI (ROCPLANE ®)	
	VERIFICHE CINEMATISMI PLANARI (TEST DI MARKLAND)	
ALLEGATO 1C	VERIFICHE CINEMATISMI TRIDIMENSIONALI (TEST DI MARKLAND)	44
ALLEGATO 1D	: VERIFICHE TOPPLING (TEST DI MARKLAND)	46
APPENDICE A	CLASSIFICAZIONE GEOMECCANICA	48
APPENDICE B	PARAMETRI DI PERICOI OSITÀ SISMICA	ДС

#### 1. PREMESSA

Su incarico della Marmi Carrara Lorano srl, con sede a Carrara (MS), è stata redatta la presente relazione di geomeccanica e di stabilità dei fronti, delle tecchie e dei vuoti sotterranei, quale allegato al piano di coltivazione ai sensi ai sensi dell'Art. 2 Comma D) DPGR 72/R e dell'Art. 17 Comma 1 lett.A) della L.R. 35/15 a supporto della Variante al Piano di Coltivazione della cava n. 39 "Fossa degli Angeli".

Per la caratterizzazione geologica e geomeccanica dell'ammasso roccioso si rimanda alla Relazione Geologica allegata. Per l'aggiornare della morfologia del sito la Società ha eseguito un rilievo topografico di aggiornato.

## 2. METODOLOGIA DI VERIFICA

Lo studio è stato affrontato e sviluppato secondo le sequenti fasi:

- 1. Prima osservazione dei fronti, dei tracciamenti, delle tecchie e del portale al fine di individuare eventuali situazioni di instabilità;
- Acquisizione dei dati geostrutturali riguardanti discontinuità in corrispondenza dei fronti accessibili e delle tecchie dell'unità estrattiva catalogate da tecnici qualificati per l'area di verifica o per zone nelle immediate vicinanze;
- 3. Proiezione su diagramma di Wulf dei dati geostrutturali raccolti nell'area indagata attraverso il programma Dips della Rocscience® e definizione dei sistemi di discontinuità ivi individuati;
- 4. Recupero della classificazione geomeccanica dell'ammasso roccioso attraverso il metodo di Bieniawski e GSI di Hoek, Kaiser e Bawden effettuata nel corso di precedenti studi;
- 5. Calcolo dei parametri di resistenza dell'ammasso roccioso in condizioni di picco e residue mediante RockData della Rocscience®;
- 6. Calcolo dei parametri di resistenza delle discontinuità ascrivibili ad ogni sistema rilevato all'interno dell'unità estrattiva, attraverso metodo di Barton-Choubey;
- 7. Definizione delle caratteristiche geometriche degli elementi strutturali oggetto di studio allo stato attuale ed allo stato di finale di progetto;
- 8. Definizione dei criteri di verifica e dimensionamento agli stati limite ultimo (SLU) e stati limite di salvaguardia delle vita (SLV) secondo le NTC18 e definizione dei parametri di resistenza secondo gli approcci/combinazioni di verifica;
- 9. Verifica analitica allo stato attuale e di progetto dei cinematismi potenzialmente instabili dovuti all'iterazione fronte/sistema-i di discontinuità ricavati attraverso Test di Markland dei tipi:
  - a) Planare per i fronti di avanzamento attraverso Rocplane della Rocscience ;
  - b) Tridimensionale per i fronti di avanzamento attraverso B-Rock della ProgramGeo;

Ing. Giacomo Del Nero Pagina 5 di 49

- c) Ribaltamento attraverso l'impiego del *Test di Markland* (codificato da Goodman e Bray, 1976) per un'analisi grafica e della formula di Timoshenko e Gere (1961) per una verifica analitica.
- 10. Verifica dei cantieri sotterranei e nello specifico:
  - a) Analisi preliminare della copertura del cantiere sotterraneo attraverso lo Scaled Span Metod di Carter et al.i;
  - b) Analisi strutturale del portale di accesso secondo la teoria della trave elastica e la teoria della trave elastica a conci di Diederichs e Kaiser (1999);
  - c) Analisi deterministica del portale di accesso, verifica e dimensionamento di sistemi di consolidamento ai sensi della normativa vigente (NTC18);
  - d) Verifica statistica dei cunei tridimensionali a contorno dei tracciamenti di scavo attraverso *Unwedge* della Rocscience;
  - e) Verifica strutturale degli elementi di sostegno del cantiere sotterraneo secondo la pubblicazione di Gonzalez-Nicieza et al.i (2006).
- 11. Analisi deterministica delle possibili iterazioni tecchia/sistema-i di discontinuità osservabili in sito e dimensionamento di eventuali interventi di bonifica e/o consolidamento;
- 12. Osservazione dei fronti e delle tecchie, a seguito delle verifiche effettuate, cosí da individuare eventuali casi reali di potenziale scivolamento planare, tridimensionale e ribaltamento;
- 13. Verifica dei muri di sostegno e contenimento alla viabilità ed al riempimento del cantiere sotterraneo.
- 14. Discussione dei risultati ottenuti.

## 3. LOCALIZZAZIONE GEOGRAFICO-TOPOGRAFICA

La Cava è ubicata all'interno del Bacino Marmifero n.2 di Torano.

L'unità estrattiva è identificata al n°39 "FOSSA DEGLI ANGELI" del Catasto Cave del Comune di Carrara ed è costituita dai Mappali n.9p Fg.20 e n.19, 49, 192, 194, 196 del Foglio 21 del NCT del Comune di Carrara con limite di quota superiore fissato a 450.0m s.l.m. per un'area in disponibilità di circa 124'000mg.

L'accesso al sito avviene da Torano lungo la strada di comparto Piastra-Ravaccione fino allo svincolo per Lorano e successivamente dalla viabilità di accesso che attraversa l'area in disponibilità della Cava n.40 FACCIATA.

.La Cava è attualmente costituita di un unico cantiere sotterraneo della tipologia a camere e pilastri più rami esplorativi che si sviluppa lungo le direttrici SW-NE e SE-NW.

L'accesso al cantiere avviene tramite l'unico accesso sotterraneo a q.426.65m s.l.m., dal quale si raggiunge il ramo centrale (I° ramo NE) avente direzione SW-NE da cui dipartono tre corridoi verso NW a raggiungere il II° ramo NE sub-parallelo al precedente.

Dal corridoio centrale sono raggiungibili i livelli dei tracciamenti in direzione NE e SE.

Pagina 6 di 49 | Ing. Giacomo Del Nero

Le camere si presentano con piano di calpestio a q.427.0-428.0m s.l.m., ribasso compreso tra 420.5-422.0m s.l.m. e tetto a q. 437.0-439.5m s.l.m., mentre i tracciamenti esplorativi si presentano con pavimento a q. 434.0-434.5m s.l.m. e tetto a q.439.5-440.0m s.l.m.. All'interno del cantiere sono stati ad oggi isolati i pilastri PMCL1, PMCL2, PMCL3, PMCL4-PLF3-PLF2.

## 3.1.STATO DI PROGETTO, TAV. 6

Allo stato di progetto, di durata ipotetica 30 mesi (2.5 anni), è previsto:

- l'avanzamento del ribasso di q.428.0-429.0m s.l.m. in direzione NE e SE;
- la coltivazione del ribasso di q.420.5-422.0m s.l.m. nei II° ramo NE e dei corridoi di collegamento con il ° ramo NE (come da progetto già assentito) ed il proseguo del ribasso nel I° ramo NE all'esterno del corridoio in uso comune alle cave 39-40.

Il ciclo di lavoro programmato ha durata di 30 mesi e quantità sostenibili di circa 18'360mc, valore inferiore al residuo volumetrico previsto dal PABE Scheda n.15. I vari sopralluoghi in sito hanno evidenziato, in alcuni settore del II° ramo NE aree ad elevato grado di fratturazione (fasce cataclastiche) per cui l'eventuale abbandono in sito produrrebbe la formazione di strutture verticali molto fratturate ed il potenziale incremento della pericolosità geomorfologica del sito, nonché l'aumento della pericolosità dei luoghi di lavoro.

A tal fine si prevede pertanto anche l'asportazione di ammasso roccioso per:
-circa 1'710mc per lavori di messa in sicurezza nel cantiere sotterraneo per situazioni
previste dal piano di coltivazione ai sensi dell'Art.13 Comma 9 della Disciplina del PRC e
che risulterebbero instabili in assenza di un'idonea programmazione.

Ai sensi dell'Articolo 13 Comma 9 della Disciplina di PRC tutte le attività inerenti i lavori di messa in sicurezza per situazioni di criticità previste dal piano di coltivazione non concorrono né alla percentuale di resa né agli obiettivi di produzione sostenibile. Il programma di lavoro esplicitato un'unica fase può subire delle variazioni nell'ordine di esecuzione, sia per particolari esigenze organizzative sia per interventi da parte degli Enti preposti al controllo.

Ing. Giacomo Del Nero Pagina 7 di 49

## 3.2. ORIENTAZIONE FRONTI, CAMERE, TRACCIAMENTI

Di seguito si riporta l'orientazione dei fronti nelle condizioni attuali e di progetto per i cantieri della Cava n.39 FOSSA DEGLI ANGELI.

	CONTORNO VUOTI 5.5-18.0m	N	135 subverticale	
	CONTORNO VOOTI 5.5-18.00	N	45 subverticale esp. NE	
CANTIERE SOTTERRANEO		N	135 subverticale esp. SW	
CANTIERE SOTTERRANEO	EDONTT 5 0-6 5 m	N 135 subverticale esp. NE		
	FRONTI 5.0-6.5 m  N 45 subverticale esp. NW  N 45 subverticale esp. SE	45 subverticale esp. NW		
		N	45 subverticale esp. SE	

Tabella 1: Elenco delle orientazione di fronti, tecchie, tracciamenti allo stato attuale e di variante al progetto della Cava n.39 Fossa degli Angeli.

#### 4. CARATTERISTICHE GEOMECCANICHE

## 4.1.CARATTERIZZAZIONE DELLA ROCCIA INTATTA

I parametri di resistenza della roccia intatta sono stati ottenuti attraverso la consultazione del "Catalogo delle varietà merceologiche dei marmi apuani (ERTAG, 1980)" ed in particolare riferendosi alle caratteristiche meccaniche della varietà merceologica "BIANCO CARRARA", litologia dominante in sito. Per quei parametri non disponibili è stato invece sfruttato l'intervallo di esistenza dei parametri medi della matrice rocciosa del Bacino Marmifero Apuano (Pierotti et al, 2014), come riportato in Tabella 2.

CARATTERISTICHE MECCANICHE	
RESISTENZA A COMPREX UNIASSIALE (MPa)	100
RESISTENZA A TRAZIONE (MPa)	8±3
RESISTENZA A TAGLIO (MPa)	20±5
PESO SPECIFICO (ton/mc)	2.700
MODULO DI ELASTICITA' (MPa)	60'000
Coefficiente di Poisson medio	0.25±0.15
Angolo di Attrito interno (°)	37±3
Coesione (MPa)	5±2

Tabella 2: Caratteristiche meccaniche del materiale costituente l'ammasso roccioso.

#### 4.2.CARATTERIZZAZIONE GEOSTRUTTURALE DELL'AMMASSO ROCCIOSO

#### 4.2.1. CARATTERI STRUTTURALI DI RILIEVO

Come riportato nella Relazione Geologica allegata al piano di coltivazione, il rilievo geologico-strutturale, a conferma ed integrazione delle precedenti indagini, ha evidenziato nei cantieri la presenza di alcune "zone di omogeneità" definiti in funzione del parametro "spaziatura" tra le discontinuità. In funzione di questo sono stati definite tre distinte classi di omogeneità, anche se la prima e la seconda hanno caratteristiche molto simili:

Inq. Giacomo Del Nero
-----------------------

- "FINIMENTI": vi sono ascritte fasce cataclastiche che interessano prevalentemente il settore occidentale del cantiere superiore. La spaziatura tra le discontinuità è decimetrica e la loro ubicazione è indicata in Tav.G4: Carta della Fatturazione 1:500;
- "CAPPELLACCIO": è rappresentato dallo strato roccioso prossimo alla superficie morfologica che ricopre il settore meridionale del cantiere superiore, ed i versanti rocciosi affioranti di Valpulita (cantiere occideentale) e Valbona (area assentita del cantiere inferiore). La spaziatura tra le discontinuità è molto ridotta, variando da centimetrica a poco più che decimetrica.
  - Lo strato ha potenze variabili in funzioni dello stato tenso-deformativo a cui è stato soggetto il materiale. L'ubicazione, con opportuno segno grafico, è riportata Tav.G7: Carta della Fatturazione 1:500.
- "AREA ESTRATTIVA": rappresenta le aree produttive caratterizzate da una spaziatura prossima al metro e superiore, valori che definiscono volumi rocciosi con buone potenzialità commerciali nella parte centro-settentrionale del cantiere superiore.

#### 4.2.2. RILIEVO STRUTTURALE

#### 4.2.2.1. ELABORAZIONE DEI DATI RACCOLTI

Tra il 2023 ed il 2024 sono state eseguite stazioni puntuali di misura di aggiornamento nelle aree di variante non sostanziale. I dati sono stati uniti e confrontati con il rilievo realizzato a supporto del piano di coltivazione autorizzato (Geol. Cattani, 2021-2022), da cui è stato possibile rintracciare tutti i sistemi definiti in sede progettuale con evidente predominanza del sistema del "contro" K1.1 ed in subordine dei sistemi del secondo K2 e K3.

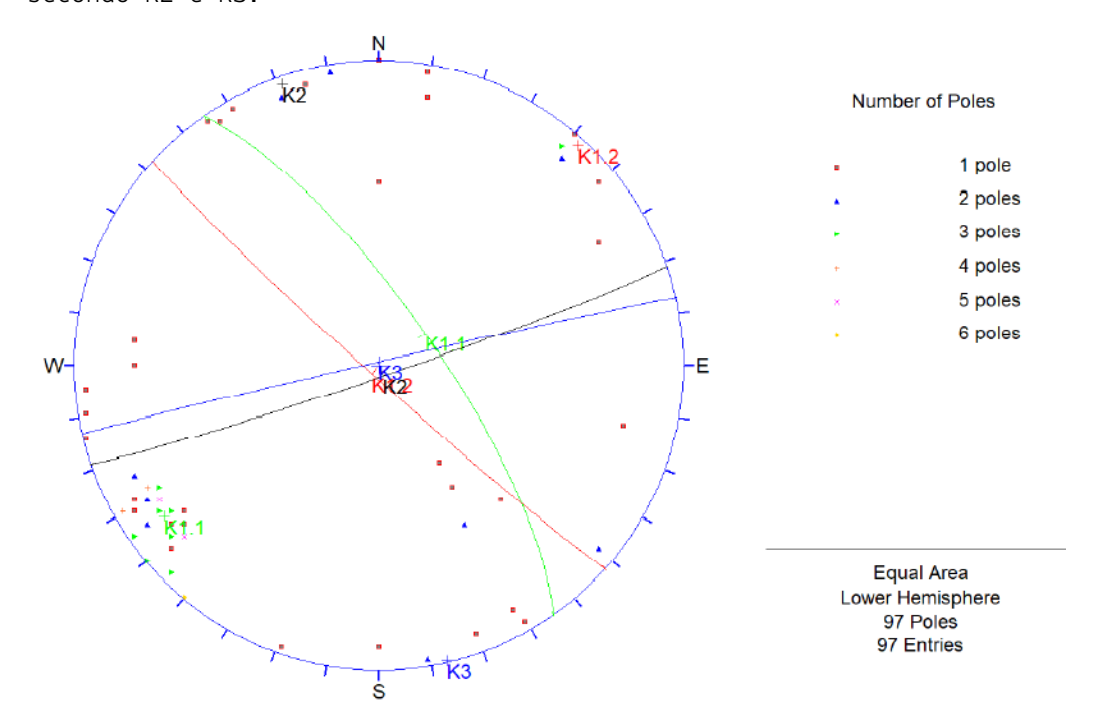


Figura 1: Rappresentazione su diagramma di Wulf dei poli, dei piani e delle frequenze delle discontinuità rilevate a supporto dei piani di coltivazione autorizzati (2021-2022)

Ing. Giacomo Del Nero Pagina 9 di 49

Raggruppamento medio	Imm. media	Incl. media
K1.1	49°	74°
K1.2	220°	79°
K2	159°	74°
K3	316°	68°

Tabella 3: piani rappresentativi delle discontinuità rilevate a supporto dei piani di coltivazione autorizzati (2021-2022).

Al fine di incrementare la valenza statistica della trattazione, i dati sono stati uniti e confrontati con il rilievo realizzato a supporto dei precedenti piani di coltivazione autorizzato (2021, 2024).

Dal rilievo geostrutturale è stato possibile rintracciare tutti i sistemi definiti in sede progettuale con evidente predominanza del sistema del "contro" K1.1 (66.7%) ed in subordine i sistemi K1.2 (7.3%), del "secondo" K2 (9.5%) e K3 (16.5%), con quest'ultimi ruotati di 30°.

#### 4.3. CARATTERIZZAZIONE GEOMECCANICA

## 4.3.1. CLASSIFICAZIONE DI BIENIAWSKI (1989)

Sulla base dei dati geostrutturali rilevati, è stata utilizzata la precedente classificazione geomeccanica effettuata con il metodo di Bieniawski (1989) al fine di classificare l'ammasso roccioso e determinare il range di esistenza del GSI (Geological Strenght Index - Hoek & Brown, 2002) e definire i parametri di resistenza meccanica.

In particolare è risultato:

RMRb 74

RMRc 64

## 4.3.2. DEFINIZIONE DEL GSI (1997)

I valori di bRMRc, precedentemente ricavati attraverso la classificazione di Bieniawski, sono stati associati al Geological Strenght Index (GSI, Hoek-Brown 1997) mediante una formulazione empirica che mettesse in correlazione il GSI con il  $BMR_{89}$ .

Il  $BMR_{89}$ , costante per tutti i cantieri, viene definito considerando bRMRc nella condizione di assenza di acqua nelle fratture (coefficiente idrico 15), come riportato in **Errore.** 

## 'origine riferimento non è stata trovata.. $GSI = RMR_{89} - 5 = 74 - 5.00 = 69$

La stima, come raccomandato dagli autori (Hoek, 2003), non deve però essere troppo rigida ed è opportuno definire un intervallo di esistenza che descriva in maniera esaustiva lo stato effettivo dell'ammasso. Dai risultati ottenuti si ritiene che il GSI ricada con buona approssimazione all'interno dell'intervallo **65-70**; è quindi ragionevole, considerare per le successive trattazioni il valore minimo dell'intervallo.

Pagina 10 di 49 | Ing. Giacomo Del Nero

#### 4.3.3. CARATTERISTICHE MECCANICHE DELL'AMMASSO ROCCIOSO

Le condizioni geostrutturali dell'area in esame e la conseguente classificazione (GSI=65) fanno ricadere l'ammasso roccioso della Cava n.39 all'interno del range di validità del Criterio di Hoek-Brown 2002 (GSI < 75).

A differenza delle leggi precedenti l'aggiornamento del 2002 considera anche un fattore di disturbo D (da 0 a 1) che tiene conto della pervasività antropica dovuta alle metodologie di scavo utilizzate.

L'inviluppo di resistenza curvilineo, definito dalla seguente legge è stato ricavato utilizzando il programma di calcolo *Rocklab* della *Rocscience* .

$$\sigma_1 = \sigma_3 + \sigma_{ci} \left( m_b \; \frac{\sigma_3}{\sigma_{ci}} + s \right)^a$$

Dove:  $\sigma_1$ ,  $\sigma_3$  tensioni principali massima e minima a collasso (il criterio non tiene infatti conto della tensione intermedia  $\sigma_2$ );

 $\sigma_{ci}$  resistenza a compressione monoassiale roccia intatta, circa 120MPa;  $m_b$ , s ed a costanti funzione del GSI (criterio di Hoek-Brown, 2002).

Per GSI > 25:

$$m_b = m_i e^{\frac{GSI - 100}{28 - 3D}} \qquad \qquad s = e^{\frac{GSI - 100}{9 - 3D}} \qquad \qquad a = 0.5 + \frac{1}{6} \left( e^{\frac{-GSI}{15}} - e^{\frac{-20}{3}} \right)$$

Dove:  $m_i$  dipende dalla roccia intatta e per i domini riscontrati, da prove di Franklin e Hoek viene assunto 9;

D è il fattore di disturbo che per il caso in esame è stato considerato NULLO.

Nel caso in esame le costanti elastiche di Hoek-Brown sono riportate in Tabella 4.

COSTANTI ELASTICHE CRITERIO DI HOEK-BROWN			
CAVA N39 FOSSA	mb	s	а
DEGLI ANGELI	2.9750	0.0319	0.5010

Tabella 4: Costanti elastiche di Hoek-Brown (2002) ricavati con il software RocLab Rocscience®.

Attraverso la Legge di Hoek-Brown modificata, per i cui dettagli si rimanda alle pubblicazioni di Hoek, Carranza-Torres & Corkum (2002), è stato quindi possibile ricavare i valori di resistenza dell'ammasso roccioso (Tabella 5), tra cui:

- $\sigma_c=\sigma_{ci}s^a$  la resistenza a compressione semplice derivata imponendo un confinamento nullo  $(\sigma_3=0)$ ;
- $\sigma_t = \frac{s \, \sigma_{ci}}{m_b}$  la resistenza a trazione derivata imponendo  $\sigma_1 = \sigma_3 = \sigma_t;$
- $\sigma_{cm}$  la resistenza globale dell'ammasso roccioso;
- $E_m = \left(1 \frac{D}{2}\right) \sqrt{\frac{\sigma_{ci}}{100}} \, 10^{\frac{GSI-10}{40}}$  il modulo di deformabilità.

Le condizioni al contorno influenzano in modo differente l'inviluppo di rottura e pertanto anche le resistenze; nel caso preso in esame si è in presenza di un cantiere sotterraneo avente coperture di spessore compreso tra 120.0-140.0m.

Per tale ragione sono state scelte due condizioni di versante (slopes) e due combinazioni di soletta (tunnels) corrispondenti ai possibili estremi dell'intervallo.

Ing. Giacomo Del Nero Pagina 11 di 49

PARAMETRI D	I RESISTENZA (	CRITERIO DI	HOEK-BROWN	(MPa)
CAVA N39 FOSSA	σα	<b>σ</b> t	σcm	E
DEGLI ANGELI	17.777	-1.073	26.273	29'854

Tabella 5: Parametri di Resistenza elastici ricavati attraverso il software RocData Rocscience®.

In Figura 2 si riportano gli inviluppi di rottura ottenuti attraverso un procedimento analitico di regressione dei risultati fino alla ricostruzione della curva di inviluppo di rottura sia nel piano delle tensioni principali  $\sigma_1$ - $\sigma_3$  che nel piano  $\tau$ - $\sigma$  con il software RocData della Rocscience ®. La resistenza tangenziale dell'ammasso roccioso, utilizzata per le successive verifiche risulta essere funzione dello stato tensionale previsto ed è stata stimata attraverso il Criterio di Hoek-Brown:

$$\tau = A \left( \frac{\sigma'_n - \sigma_{tm}}{\sigma_{ci}} \right)^B$$

Dove: A e B sono costanti del materiale;

 $\sigma_n'$  è lo stato tensionale normale, nella condizione litostatica;

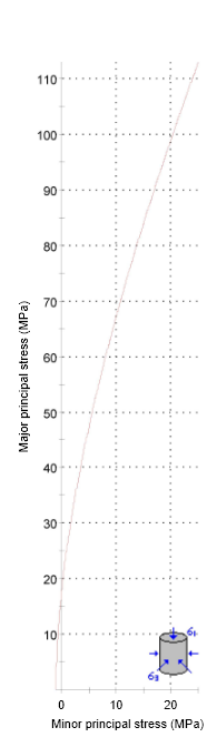
 $\sigma_{tm}$  è la resistenza a trazione dell'ammasso roccioso secondo l'espressione di Hoek-Bray;

 $\sigma_{ci}$  è la resistenza a compressione monoassiale del materiale intatto.

Dai risultati riportati in Tabella 6 si osserva che la resistenza tangenziale rimane compresa tra 7.2-8.5 MPa.

PARAMETRI	ELASTIC	ΞI			
CAVA N39 FOSSA DEGLI ANGELI	<b>σ</b> n (Mpa) τ		τ (Ι	(Mpa)	
	min	max	Mc min	MC max	
COPERTURA (120.0-140.0m)	3.18	3.71	7.26	8.53	

Tabella 6: Parametri Elastici dell'ammasso roccioso costituente l'area di analisi.





Hoek-Brown Classification

Analysis of Rock/Soil Strength using RocData

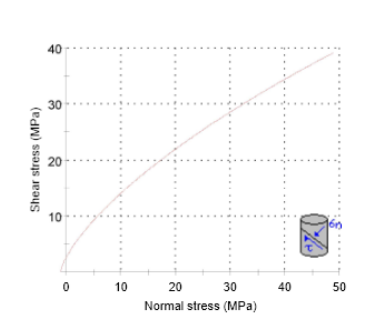


Figura 2: Curve di inviluppo e Parametri di resistenza generali dell'ammasso roccioso ricavati attraverso *RocData® Rocsciece*.

#### 4.3.4. RESISTENZA POST-PICCO

Il comportamento meccanico post-picco dell'ammasso roccioso rappresenta un elemento fondamentale per valutare gli effetti di una variazione di sollecitazione che, superando i limiti di validità del campo elastico, porta il materiale ad un comportamento di tipo plastico prima della definitiva rottura.

La sola analisi tensionale in campo elastico risulta infatti limitativa poiché l'eventuale comportamento duttile, rammollente o fragile del materiale, durante la plasticizzazione, non viene tenuta in considerazione.

In relazione alle basse coperture litostatiche dei vuoti sotterranei, si ritiene plausibile che lo stato tensionale originario in sito sia ampliamente inferiore ai 30 MPa, e quindi da rilevanze sperimentali (Friedrich, 1989) è opportuno ritenere il comportamento dell'intero ammasso roccioso fragile o "strain softening".

Recenti studi connessi a campagne di misurazioni in sito (Pierotti et a.li, 2014) evidenziano che le "forzature" sono da attribuirsi a processi di fratturazione fragile della roccia causati al superamento di un limite del deviatori ( $\sigma_1$ -  $\sigma_3$ ) e governati, nella fase iniziale, dalla sola componente coesiva della resistenza; mentre, solo al decadimento di quest'ultima, a causa della propagazione delle fratture e all'incipiente movimentazione, viene mobilitata la componente attritiva Per tener conto di questi aspetti nel valutare il comportamento elasto-plastico secondo il Criterio di rottura di Hoek-Brown si è ritenuto plausibile considerare una componente attritiva residua nulla (rappresentata da  $m_r$ =0) ed una componente coesiva costante (rappresentata da s) e ricavata nella fase di caratterizzazione dell'ammasso roccioso (*Roclab* Tabella 6).

COSTANTI PLASTI	CHE CRITERIO	DI HOEK	-BROWN
CAVA N39 FOSSA	mb	s	а
DEGLI ANGELI	0.0000	0.0319	0.5010

Tabella 7: Parametri di Resistenza plastici per la Cava n.39 Fossa degli Angeli (RocLab ®).

Trascurando pertanto il contributo attritivo, la tensione deviatorica limite per l'ammasso roccioso costituente la Cava N.39 Fossa degli Angeli viene calcolata come segue:

$$\sigma_1 - \sigma_3 = \sigma_c s^a = 17.80 MPa$$

Il limite elastico dell'ammasso roccioso è pertanto equiparabile alla resistenza deviatorica di 17.80 MPa che è prossimo alla resistenza a compressione uniassiale (assenza di confinamento laterale).

Analisi numeriche riferite a rotture progressive in sotterraneo (Hoek, 2005), hanno comunque dimostrato che l'applicazione di tale criterio stabilisce solo la possibilità di fenomeni di "forzatura" concentrati nelle porzioni più superficiali degli scavi, ovvero in reale assenza di confinamento laterale. Tali fenomeni, seppur non trascurabili, quali monito delle condizioni tensionali al contorno e per problematiche legate alla sicurezza

Ing. Giacomo Del Nero Pagina 13 di 49

degli addetti (fenomeni di spalling), non rappresentano tuttavia un indizio di un possibile cedimento globale della struttura.

La pericolosità a grande scale è infatti minima fino a quando le tensioni non raggiungono la resistenza globale ("global strenght) e provocano l'effettivo collasso delle strutture portanti.

Tale resistenza viene definita attraverso la relazione di Hoek, Carranza-Torres e Corkum (2002) per un intervallo della tensione principale minima  $0 < \sigma_3 < \frac{\sigma_{ci}}{4}$ , che alle condizioni tensionali riscontrabili nel bacino apuano risulta sempre verificato.

$$\sigma_{\rm cm} = \sigma_{\rm ci} \left( \frac{[m_b + 4s - a(m_b - 8s)](m_b/4 + s)^{a-1}}{2(1+a)(2+a)} \right) = 26.27 \,{\rm MPa}$$

La resistenza globale dell'ammasso roccioso, da considerare per le successive verifiche, è quindi 26.27 MPa.

#### 4.3.5. CARATTERISTICHE DI RESISTENZA DELLE DISCONTINUITÀ

Il Criterio di Hoek-Brown ipotizza l'ammasso roccioso un continuo equivalente e la sua validità aumenta all'aumentare della scala del problema rispetto alle spaziature riscontrate in sito; pertanto, per i fronti residuali, come l'area in esame, si deve ritenere che la stabilità possa essere governata più facilmente dalle discontinuità principali.

Il comportamento delle discontinuità viene descritto attraverso la legge non lineare di Barton-Bandis (1982):  $\tau = \sigma n \ t \phi p$ 

Nell'equazione, la resistenza della discontinuità alla rottura  $(\tau)$  viene calcolata per ogni famiglia di discontinuità del sito definendo l'angolo di picco a rottura  $\phi p$  secondo la sequente equazione  $\phi p = \phi r + (JRCn \ Log \ JCSn/\sigma n) + iu$ 

Dove:  $\phi_r$  è l'angolo di base del materiale, che per il marmo, da dati di bibliografia ("Analisi di Metodologie di Calcolo e Sperimentali applicabili nelle valutazioni statistiche in coltivazione di pietra ornamentale" – Centro Studi per la Fisica delle Rocce – Torino), è compreso nell'intervallo 28°-32°;

JRC<sub>n</sub> (Joint Rougness Coefficient) è il valore alla scala del problema determinato attraverso i dati di campagna raccolti che definiscono la rugosità a piccola scala delle discontinuità compresi tra i profili di rugosità 4-6 nella scala di Barton e Choubey (Geol. Cattani, 2021);

 $JCS_n$  (Joint Wall Compressive Strenght) è il valore alla scala del problema determinato attraverso i dati di campagna raccolti sulle fratture esposte risulta circa 25-40 (Geol. Cattani, 2021);

i<sub>u</sub> rappresenta l'angolo di ondulazione a grande scala della discontinuità (parametro "scabrezza"), che si trascura ai fini della sicurezza perché di difficile determinazione;

Pagina 14 di 49 | Ing. Giacomo Del Nero

 $\sigma_{\text{n}}$  rappresenta il carico normale al piano del giunto che è stato assunto uguale alla componente del carico litostatico unitario (2.7 ton/mq o 26.5 kN/mc) ortogonale alla superficie media del sistema di riferimento.

Per la definizione dei parametri da utilizzare nelle verifiche, si ricorda che l'inviluppo di resistenza, costruito al variare della tensione normale agente sul piano di discontinuità (legge di Barton-Bandis), è di tipo curvilineo (criterio di Barton-Choubey), con curvatura che tende all'infinito per valori elevati della tensione normale  $\sigma_n$ .

A scopo cautelativo le analisi all'equilibrio limite sono effettuate in termini di coesione (c) e angolo di attrito ( $\phi$ ) (legge lineare di Mohr-Coulomb) sono state effettuate considerando i valori minimi, ovvero coesione nulla e angolo di attrito medio di 31°.

Ing. Giacomo Del Nero Pagina 15 di 49

## 5. CRITERI DI PROGETTAZIONE E VERIFICA

Le verifiche di sicurezza riportate nei seguenti capitoli saranno effettuate agli Stati Limite Ultimo (SLU), per le condizioni statiche, ed allo Stato di Salvaguardia della Vita (SLV), per le condizioni sismiche ai sensi dei Capitoli 2.6, 6.2.4 e 7.11.1 delle Nuove Norme Tecniche per le Costruzioni (NTC18) di cui al DM 17-01-2018.

## 5.1.AZIONI

Nella definizione delle azioni si distinguono i carichi permanenti (G) quali pesi propri strutturali (G1) e non strutturali (G2), i carichi variabili Q (sovraccarichi, neve, vento e temperatura), i carichi eccezionali A (incendio, urti, esplosioni) ed i carichi sismici (E). Data l'entità dei carichi (G), le sollecitazioni dovute ai carichi accidentali, alla neve e al ghiaccio risultano trascurabili e nelle successive analisi non verranno tenuti in considerazione.

#### 5.2. CARATTERIZZAZIONE DELLE AZIONI

Per le azioni variabili si tiene conto dei coefficienti di combinazione di Tab.2.5.I NTC18, di seguito riportati.

Categoria/Azione variabile	Ψοϳ	$\psi_{ij}$	$\psi_{2j}$
Categoria A - Ambienti ad uso residenziale	0,7	0,5	0,3
Categoria B - Uffici	0,7	0,5	0,3
Categoria C - Ambienti suscettibili di affollamento	0,7	0,7	0,6
Categoria D - Ambienti ad uso commerciale	0,7	0,7	0,6
Categoria E – Aree per immagazzinamento, uso commerciale e uso industriale Biblioteche, archivi, magazzini e ambienti ad uso industriale	1,0	0,9	0,8
Categoria F - Rimesse , parcheggi ed aree per il traffico di veicoli (per autoveicoli di peso $\leq 30~\mathrm{kN})$	0,7	0,7	0,6
Categoria G – Rimesse, parcheggi ed aree per il traffico di veicoli (per autoveicoli di peso > 30 kN)	0,7	0,5	0,3
Categoria H - Coperture accessibili per sola manutenzione	0,0	0,0	0,0
Categoria I – Coperture praticabili	da va	lutarsi c	aso per
Categoria K – Coperture per usi speciali (impianti, eliporti,)		caso	
Vento	0,6	0,2	0,0
Neve (a quota ≤ 1000 m s.l.m.)	0,5	0,2	0,0
Neve (a quota > 1000 m s.l.m.)	0,7	0,5	0,2
Variazioni termiche	0,6	0,5	0,0

#### COMBINAZIONE DELLE AZIONI

In relazione allo stato limite affrontato si prevede una specifica combinazione:

COMBINAZIONE FONDAMENTALE (SLU) COMBINAZIONE RARA (SLE irreversibile)  $\gamma_{G1} \cdot G_1 + \gamma_{G2} \cdot G_2 + \gamma_P \cdot P + \gamma_{Q1} \cdot Q_{k1} + \gamma_{Q2} \cdot \psi_{02} \cdot Q_{k2} + \gamma_{Q3} \cdot \psi_{03} \cdot Q_{k3} + \dots \\ G_1 + G_2 + P + Q_{k1} + \psi_{02} \cdot Q_{k2} + \psi_{03} \cdot Q_{k3} + \dots$ COMBINAZIONE SISMICA (SLU-SLE + E) COMBINAZIONE (SLE FREQUENTE reversibile)  $G_1 + G_2 + P + \psi_{11} \cdot Q_{k1} + \psi_{22} \cdot Q_{k2} + \psi_{23} \cdot Q_{k3} + \dots$  $E + G_1 + G_2 + P + \psi_{21} \cdot Q_{k1} + \psi_{22} \cdot Q_{k2} + \dots$ COMBINAZIONE QUASI PERMANENTE COMBINAZIONE ECCEZIONALE (SLU-SLE + A) lungo termine)  $G_1 + G_2 + P + A_d + \psi_{21} \cdot Q_{k1} + \psi_{22} \cdot Q_{k2} + \dots$  $G_1 + G_2 + P + \psi_{21} \cdot Q_{k1} + \psi_{22} \cdot Q_{k2} + \psi_{23} \cdot Q_{k3} + \dots$ Dove: = azioni permanenti strutturali;

Pagina 16 di 49 | Ing. Giacomo Del Nero

$G_{k2}$	= azioni permanenti non strutturali
P	= forza di precompressione;
$Q_{k1}$	= azione variabile di base;
$Q_{ki}$	<pre>= azioni variabili tra loro indipendenti;</pre>
YG1	<pre>= coefficiente parziale dei carichi permanenti;</pre>
YG2	= coefficiente parziale dei carichi permanenti non strutturali;
ΎР	= coefficiente di sicurezza dei carichi concentrati;
YQi	= coefficiente di sicurezza dei carichi variabili;
$\psi_{ij}$	= coefficiente di combinazione delle azioni variabili.

Carrara

## 5.3. VERIFICHE AGLI STATI LIMITE ULTIMI (SLU)

RELAZIONE GEOMECCANICA DI STABILITA

Per gli stati limite ultimo deve essere soddisfatta la relazione: Rd  $\geq$  Ed dove R<sub>d</sub> il valore di progetto della resistenza del sistema geotecnico ed E<sub>d</sub> è il valore di progetto dell'effetto dell'azione.

Nelle verifiche agli stati limite ultimo si distinguono:

- lo stato limite per perdita di equilibrio (EQU);
- lo stato limite per raggiungimento della resistenza strutturale (STR);
- lo stato limite per raggiungimento della resistenza del terreno (GEO).

La verifica della condizione di stato limite ultimo deve essere effettuata impiegando diverse combinazioni di gruppi di coefficienti parziali, rispettivamente definiti per le azioni (EQU, A1,A2), per i parametri geotecnici (M1, M2) e per le resistenze (R1, R2, R3). I diversi gruppi di coefficienti di sicurezza parziali sono scelti nell'ambito di due approcci distinti ed alternativi:

- APPROCCIO 1: COMBINAZIONE 1 (A1+M1+R1) per la verifica STRUTTURALE COMBINAZIONE 2 (A2+M2+R2) per la verifica GEOTECNICA

- APPROCCIO 2: COMBINAZIONE UNICA (A1+M2+R3 (GEO) o R1 (STR).

## 5.4.AZIONI

GEO 008.00.22

Per le azioni si utilizzano i coefficienti riduttivi riportati in Tab.6.2.I NTC18.

	Effetto	Coefficiente Parziale $\gamma_{F} \ (o \ \gamma_{E})$	EQU	(A1)	(A2)
Carichi permanenti G1	Favorevole	Υgı	0,9	1,0	1,0
	Sfavorevole		1,1	1,3	1,0
Carichi permanenti G2(1)	Favorevole	Υ <sub>G2</sub>	0,8	0,8	0,8
	Sfavorevole		1,5	1,5	1,3
Azioni variabili Q	Favorevole	Υ <sub>Q</sub> ,	0,0	0,0	0,0
	Sfavorevole		1,5	1,5	1,3

<sup>(1)</sup> Per i carichi permanenti G2 si applica quanto indicato alla Tabella 2.6.I. Per la spinta delle terre si fa riferimento ai coefficienti γς:

Ing. Giacomo Del Nero Pagina 17 di 49

### 5.5.PARAMETRI GEOTECNICI E RESISTENZE

Parametro	Grandezza alla quale applicare il coefficiente parziale	Coefficiente parziale $\gamma_{M}$	(M1)	(M2)
Tangente dell'angolo di resi- stenza al taglio	$tan{\phi'}_k$	$\gamma_{\phi'}$	1,0	1,25
Coesione efficace	c′ <sub>k</sub>	$\gamma_{c'}$	1,0	1,25
Resistenza non drenata	$c_{ m uk}$	γ <sub>cu</sub>	1,0	1,4
Peso dell'unità di volume	γγ	$\gamma_{\gamma}$	1,0	1,0

I parametri geotecnici saranno ridotti attraverso il coefficiente parziale sicurezza  $\gamma_M$ , indicati in Tabella 6.2.II NTC18) e tenendo conto, ove necessario, degli ulteriori coefficienti  $\gamma_R$  specificati dalla stessa normativa per i diversi tipi di opera.

Per gli ammassi rocciosi al valore caratteristico di resistenza a taglio  $\gamma_R$  si applica un coefficiente parziale  $\gamma_R$  =1.0 (M1) e  $\gamma_R$  =1.25 (M2), mentre al valore caratteristico della resistenza uni-assiale  $q_u$ , anche se le NTC18 non si esprimono, è stato utilizzato il coefficiente parziale dell'EC7  $\gamma_{qu}$ =1.0 (M1) e  $\gamma_{qu}$ =1.4 (M2).

## 5.6. FRONTI E TECCHIE

Consideranto fronti e tecchie equiparabili ai fronti di scavo del Cap.6.8.2 NTC18 la condizione di verifica deve essere soddisfatta secondo:

- la COMBINAZIONE 2 (A2+M2+R2) con il coefficiente parziale delle resistenze definito dalla Tab.6.8.I NTC18 per gli stati limite ultimi (SLU);

Tab. 6.8.I - Coefficienti parziali per le verifiche di sicurezza di opere di materiali sciolti e di fronti di scavo

COEFFICIENTE	R	2
$\gamma_{\scriptscriptstyle R}$	1,	1

- Considerando i coefficienti parziali sulle azioni e sui parametri geotecnici unitari (§7.11.1 e §7.11.4 NTCO8) ed il coefficiente parziale sulle resistenze pari a  $\gamma_R$ =1.2.

#### 5.7.CANTIERE SOTTERRANEO

Per le opere in sotterraneo intese come i contorni a vuoti dello scavo in progetto il Cap.6.7.5 NTC18 impone che le verifiche globali agli stati limite ultimi vengano eseguiti secondo la COMBINAZIONE 2 (A2+M2+R2) dell'APPROCCIO 1 con valori dei coefficienti parziali di resistenza R1 ed R2 unitari.

Anche se la norma nulla dice in relazione alle verifiche sismiche, si è ritenuto a scopo cautelativo di inserire il contributo sismico all'interno delle verifiche effettuate secondo l'approccio A2+M2+R2 considerando tutti i coefficienti parziali di resistenza unitari.

La verifica globale del cantiere sotterraneo è stata eseguita pertanto agli stati limite SLU e SLV nella consapevolezza che gli stati limite ultimi restituiscano valori in termini di tensioni e deformazioni più gravosi rispetto agli stati limite di esercizio.

# 5.8. SISTEMI DI CONSOLIDAMENTO (EVENTUALI)

Il dimensionamento dei sistemi di consolidamento e/o rinforzo è contenuto nel Cap.6.6 NTC 18. Le verifiche saranno affrontate confrontando la massima azione di progetto Pd, nelle condizioni di Stato Limite Ultimo (SLU) e Stato Limite di Salvaguardia della Vita (SLV), con la resistenza di progetto Rad determinata applicando alla resistenza caratteristica Rak (ricavata da prove di carico e rottura) i coefficienti parziali per le resistenze di ancoraggio riferite a sistemi PERMANENTI (Tabella 6.6.I NTC18) in relazione alle caratteristiche funzionali della struttura.

Tab. 6.6.I - Coefficienti parziali per la resistenza degli ancoraggi

	Simbolo	Coefficiente parziale
Temporanei	$\gamma_R$	1,1
Permanenti	$\gamma_R$	1,2

La resistenza caratteristica  $R_{ak}$ , viene scelta tra la minore della resistenza media e minima ricavate attraverso metodi di calcolo analitici, dai valori caratteristici dei parametri geotecnici dedotti dai risultati di prove in sito e/o di laboratorio, applicando gli opportuni fattori  $\xi$  an riportati in Tabella 6.6.III NTC18, riferiti ai soli profili di indagine che consentono la completa identificazione del modello geotecnico di sottosuolo.

	Numero di profili di indagine	1	2	3	4	≥5
$(R_{a,c})_{medio}$	$\xi_{a3}$	1,80	1,75	1,70	1,65	1,60
$R_{ak} = Min \left\{ \frac{(R_{a,c})_{medio}}{\xi_{a3}}; \frac{(R_{a,c})_{min}}{\xi_{a4}} \right\}$	ξ <sub>a4</sub>	1,80	1,70	1,65	1,60	1,55

Tab. 6.6.III - Fattori di correlazione per derivare la resistenza caratteristica dalle prove geotecniche, in funzione del numero n di profili di indagine

Nella valutazione analitica delle resistenze alla sfilamento degli ancoraggi non si applicano coefficienti parziali di sicurezza sui valori caratteristici della resistenza del terreno, e si fa quindi riferimento ai coefficienti parziali di sicurezza M1.

## 5.9.AZIONI DOVUTE AL SISMA

#### VITA NOMINALE, CLASSE D'USO E PERIODO DI RIFERIMENTO

Le strutture da verificare rientrano, ai sensi del Cap. 2.4.1 NTC18 nella categoria 2 delle "Costruzioni con livelli di prestazioni ordinari" per le quali la vita nominale di progetto, dalla Tabella 2.4.I NTC18 è  $V_N \geq 50$  anni.

Tale scelta rappresenta di fatto un aumento delle condizioni di sicurezza dal momento che l'intero piano di coltivazione avrebbe ai sensi della normativa vigente una durata di tre anni e pertanto l'opera rientrerebbe nella Categoria 1.

Anche la destinazione d'uso della struttura viene cautelativamente classificata in Classe d'Uso II (Cap. 2.4.2. NTC18): "Costruzioni il cui uso prevede normali affollamenti,..." dove il coefficiente dedicato risulta da Tab.2.4.II Cu = 1.0.

Il periodo di riferimento  $(V_R)$  per le azioni sismiche è dato da:

$$VR = VN \cdot CU = 50 \cdot 1.0 = 50 \text{ anni}$$

Ing. Giacomo Del Nero Pagina 19 di 49

#### TEMPO DI RITORNO DEL SISMA

Dal momento che si intende eseguire le verifiche agli stati limite di salvaguardia della vita (SLV) e di stato limite di danno (SLD) dalla Tab.3.2. I NTC18 viene definita una probabilità di superamento nel periodo di riferimento  $P_{VR SLV} = 10\%$ 

Tab. 3.2.I – Probabilità di superamento  $P_{V_{\pi}}$  in funzione dello stato limite considerato

Stati Limite	Pv	$P_{V_{\overline{R}}}$ : Probabilità di superamento nel periodo di riferimento $V_{\overline{R}}$		
Stati limite di esercizio	SLO	81%		
Stati limite di esercizio	SLD	63%		
Stati limite ultimi	SLV	10%		
Stati innute ultimi	SLC	5%		

In relazione al periodo di riferimento dell'opera ed alla probabilità di superamento si ottiene un tempo di ritorno per SLV di 475 anni.

In relazione ai tempi di realizzazione del lavori di coltivazione prospettati si ritiene che le condizioni sismiche scelte siano **estremamente cautelative.** 

#### CATEGORIA DI SOTTOSUOLO

 ${\bf Tab.~3.2. II-Categorie~di~sottosuolo~che~permettono~l'utilizzo~dell'approccio~semplificato.}$ 

Categoria	Caratteristiche della superficie topografica
	Ammassi rocciosi affioranti o terreni molto rigidi caratterizzati da valori di velocità delle onde
A	di taglio superiori a 800 m/s, eventualmente comprendenti in superficie terreni di caratteri-
	stiche meccaniche più scadenti con spessore massimo pari a 3 m.
	Rocce tenere e depositi di terreni a grana grossa molto addensati o terreni a grana fina molto consi-
В	stenti, caratterizzati da un miglioramento delle proprietà meccaniche con la profondità e da
	valori di velocità equivalente compresi tra 360 m/s e 800 m/s.
	Depositi di terreni a grana grossa mediamente addensati o terreni a grana fina mediamente consi-
С	stenti con profondità del substrato superiori a 30 m, caratterizzati da un miglioramento del-
C	le proprietà meccaniche con la profondità e da valori di velocità equivalente compresi tra
	180 m/s e 360 m/s.
	Depositi di terreni a grana grossa scarsamente addensati o di terreni a grana fina scarsamente consi-
D	stenti, con profondità del substrato superiori a 30 m, caratterizzati da un miglioramento del-
D	le proprietà meccaniche con la profondità e da valori di velocità equivalente compresi tra
	100 e 180 m/s.
E	Terreni con caratteristiche e valori di velocità equivalente riconducibili a quelle definite per le catego-
E	rie C o D, con profondità del substrato non superiore a 30 m.

L'ammasso roccioso appartiene alla Categoria A della Tabella 3.2.II NTC18.

## 5.9.1. CONDIZIONI TOPOGRAFICHE

Dal punto di vista topografico il sito appartiene alla Categoria T4: "Rilievi con larghezza in cresta molto minore che alla base e inclinazione media i  $> 30^{\circ}$ " Tabella3.2.III NTC18.

Tab. 3.2.III – Categorie topografiche

Categoria	Caratteristiche della superficie topografica
T1	Superficie pianeggiante, pendii e rilievi isolati con inclinazione media i ≤ 15°
T2	Pendii con inclinazione media i > 15°
T3	Rilievi con larghezza in cresta molto minore che alla base e inclinazione media 15° ≤ i ≤ 30°
T4	Rilievi con larghezza in cresta molto minore che alla base e inclinazione media i > 30°

## 5.9.2. VALUTAZIONE DELL'AZIONE SISMICA

Le analisi in presenza di azioni sismiche sono effettuate con il metodo pseudo-statico.

L'azione sismica è rappresentata da un'azione statica equivalente costante e proporzionale alle forze gravitative potenzialmente instabili costituita di una componente orizzontale e di una componente verticale espresse mediante un coefficiente sismico orizzontale  $(k_h)$  ed un coefficiente sismico verticale  $(k_v)$ , valutati mediante le seguenti relazioni del §7.11.3.5.2 NTC18:

$$k_h = \beta_S \cdot \frac{a_{max}}{\alpha}$$
 Dov

 $a_{\text{max}}$  = accelerazione orizzontale massima attesa al sito;

$$k_v = \pm 0.5 \cdot k_h$$

g = Accelerazione di gravità;

 $\beta_\text{m}$  = coefficiente di riduzione dell'accelerazione massima attesa al sito da (§7.11.4 NTC18) pari a 0.27 per le verifiche allo stato limite ultimo.

Tab. 7.11.I - Coefficienti di riduzione dell'accelerazione massima attesa al sito

	Categoria di sottosuolo A B, C, D, E		
	$\beta_{s}$	$\beta_{\mathbf{s}}$	
$0.2 < a_g(g) \le 0.4$	0,30	0,28	
$0.1 < a_g(g) \le 0.2$	0,27	0,24	
$a_{g}(g) \le 0.1$	0,20	0,20	

In assenza di analisi specifiche della risposta sismica locale, l'accelerazione massima attesa al sito è valutata con la seguente espressione:

Tab. 3.2.IV - Espressioni di Ss e di Cc

Categoria sottosuolo	S <sub>s</sub>	C <sub>c</sub>	
A	1,00	1,00	
В	$1,00 \le 1,40 - 0,40 \cdot F_o \cdot \frac{a_g}{g} \le 1,20$	1,10 · (T <sub>C</sub> *) <sup>-0,20</sup>	
С	$1,00 \le 1,70 - 0,60 \cdot F_o \cdot \frac{a_g}{g} \le 1,50$	1,05 · (T <sub>C</sub> *) <sup>-0,33</sup>	
D	$0.90 \le 2.40 - 1.50 \cdot F_o \cdot \frac{a_g}{g} \le 1.80$	1,25 · (T <sub>C</sub> *)-0,50	
E	$1,00 \le 2,00 - 1,10 \cdot F_o \cdot \frac{a_g}{g} \le 1,60$	1,15 · (T <sub>c</sub> *)-0,40	

 $a_{max} = S a_{q} = S_{S} \cdot S_{T} \cdot a_{q}$ 

dove:

rigido;

 $a_{g}$  = accelerazione orizzontale massima attesa su sito di riferimento

S = coefficiente che comprende l'effetto dell'amplificazione stratigrafica ( $S_S$ ) Tab.3.2.IV NTC18 e topografica ( $S_T$ ) Tab.3.2.V NTC18.

Ing. Giacomo Del Nero Pagina 21 di 49

Tab. 3.2.V - Valori massimi del coefficiente di amplificazione topografica S<sub>T</sub>

Categoria topografica	Ubicazione dell'opera o dell'intervento	ST
T1	-	1,0
T2	In corrispondenza della sommità del pendio	1,2
T3	In corrispondenza della cresta di un rilievo con pendenza media minore o uguale a 30°	1,2
T4	In corrispondenza della cresta di un rilievo con pendenza media maggiore di 30°	1,4

I parametri di pericolosità sismica sono stati definiti attraverso il programma Edilus-MS della ACCA Software®, ove è sufficiente indicare un punto di riferimento medio che per il caso in esame presenta coordinate WGS84 44.10428573 10.12277667

L'accelerazione sismica risulta essere 0.162 g per SLV.

Parametri di pericolosità Sismica				
Stato Limite	T <sub>r</sub> [anni]	a <sub>g</sub> /g [-]	F <sub>o</sub> [-]	T* <sub>c</sub> [s]
Operatività	30	0.051	2.450	0.240
Danno	50	0.065	2.464	0.253
Salvaguardia Vita	475	0.162	2.395	0.287
Prevenzione Collasso	975	0.208	2.385	0.296

Tabella 8: Parametri di pericolosità sismica per il punto di riferimento della Cava 39 Fossa degli Angeli (Edilus-MS ACCA Software®).

Per le diverse categorie di suolo in esame si ha:

- **S**<sub>T</sub> = **1.40** coefficiente di amplificazione topografica (S<sub>T</sub>) per "pendii con inclinazione i≥30° in corrispondenza della sommità del pendio" (Tabella 3.2.III NTC18);
- $S_s = 1.00$  coefficiente di amplificazione stratigrafica ( $S_s$ ) per suolo di tipo A (Tabella 3.2.II NTC18) ovvero ammasso roccioso;

da cui:  $amax SLV = SS \cdot ST \cdot ag = 0.162 \cdot g \cdot 1.00 \cdot 1.4 = 0.224 g$ 

con corrispondenti valori dei coefficienti sismici orizzontale  $(k_h)$  e verticale  $(k_v)$ :

$$k_h = 0.06$$
  $k_v = 0.03$ 

## 5.10. VALORI DI CALCOLO

I parametri geotecnici ottenuti per la roccia intatta, le discontinuità e l'ammasso roccioso, secondo i diversi comportamenti ipotizzati, sono stati opportunamente ridotti secondo i fattori correttivi previsti dalle NTC18 e per le discontinuità sono stati definiti i valori caratteristici dei parametri di resistenza come previsto dall'EC 7 (Tabella 8). Le Istruzioni del Consiglio Superiore dei Lavori Pubblici indicano di assimilarli al valor medio dal momento che per strutture sufficientemente rigide, quali un ammasso roccioso, sussiste una compensazione delle eterogeneità e le azioni vengono trasferite dalle zone meno resistenti a quelle più resistenti per mezzo dei ponti di roccia. Per le discontinuità sono stati considerati i valori residui di resistenza.

CAVA N39 FOSSA DEGLI ANG	VALORI DI					
CAVA NOT FUSIA DEGLI AIN	M1	M2				
Resistenza a Compressione Unias	Resistenza a Compressione Uniassiale (MPa)					
Resistenza Globale Ammasso Rocc	cioso (Mpa)	26.27	18.77			
Resistenza a Compressione Ammasso	Roccioso (Mpa)	17.78	12.70			
Tensione Deviatorica Ammasso Roc	17.80	12.71				
Resistenza a Trazione Ammasso Ro	-1.07	-0.86				
Resistenza a Taglio Ammasso Roc	7.26	5.81				
Modulo di Elasticità (G	29	854				
Indici ammasso roccioso	mb	2.9750	2.3800			
(Hoek-Brown)	sb	0.0319	0.0255			
(LIOCK_DTOMIL)	a	0.5	5010			
Resistenza discontinuità residue	cd (Kpa)	0.00	0.00			
WESTSTEINE ATSCONTTHATER TESTAGE	фd (°)	31.00	25.67			

Tabella 9: Valori di calcolo delle caratteristiche meccaniche dell'ammasse roccioso e delle discontinuità utilizzati per le verifiche di stabilità.

Ing. Giacomo Del Nero Pagina 23 di 49

## 6. ANALISI DI STABILITÀ DEI FRONTI

Durante le attività previste le bancate avranno un'alzata compresa tra 5.0-7.0m, per cui le successive verifiche è stata scelta l'alzata massima di 8.0m. Tale scelta gioca a favore di sicurezza in quanto si analizzano condizioni peggiorative riscontrabili in sito, aumentando di fatto i possibili volumi movimentabili con tutto quello che ne consegue.

Allo scopo, nei capitoli precedenti, sono state definite le caratteristiche strutturali e le caratteristiche di resistenza, sia dell'ammasso roccioso che delle discontinuità.

Per le verifiche analitiche dei fronti di ciascun cantiere sono stati utilizzati i piani rappresentativi delle famiglie di discontinuità riconosciute all'interno del singolo cantiere.

Condizione necessaria affinché si producano potenziali cinematismi è che una o due discontinuità delimitanti la porzione rocciosa intersechino almeno l'alzata oppure sia l'alzata che la pedata dei fronti in coltivazione e che il valore dell'inclinazione di tali discontinuità sia superiore all'angolo di attrito residuo delle discontinuità stesse.

Inoltre, affinché possa originarsi cinematismo, devono presentarsi le seguenti ulteriori condizioni:

- > mancanza di continuità laterale della massa rocciosa;
- > persistenza totale dei piani che isolano la massa, senza presenza di ponti di roccia;
- ➤ dimensioni della volumetria in studio compatibile con le dimensioni dei fronti, dei piazzali e della stessa cava.

Una costante osservazione dei fronti, da parte del personale, prima dell'esecuzione di tagli al monte fa si che vengano messi in luce potenziali situazioni di rischio, cosí da intervenire disgaggiando o stabilizzando l'eventuale massa rocciosa, con quest'ultimo intervento che generalmente è condotto in corrispondenza dei fronti residui.

Il fatto che le cave costituiscono dei fronti di lavoro in continua evoluzione permette, con il progredire della coltivazione, di intervenire ogni qualvolta si presenti una situazione di potenziale instabilità.

Per ogni fronte in coltivazione sono state approntate tre verifiche:

- analisi dei potenziali cinematismi planari;
- analisi dei potenziali cinematismi tridimensionali;
- analisi dei potenziali ribaltamenti.

Si ricorda inoltre che l'analisi su base statistica è puramente indicativo e dovrà essere valutato ad ogni nuovo avanzamento dal Direttore Responsabile come previsto dalla "Procedura Unificata Taglio al Monte" redatta e condivisa dall'AUSL Toscana Nord Ovest all'interno del Piano straordinario per la sicurezza nella lavorazione del marmo nel distretto Apuo-Versiliese (DGR n.575 del 29.05.2017).

Pagina 24 di 49 | Ing. Giacomo Del Nero

Per la visualizzazione dei listati e delle restituzioni grafiche riguardanti le verifiche effettuate per i potenziali scivolamenti planari, scivolamenti tridimensionali ed i ribaltamenti, si rimanda all'ALLEGATO 1: VERIFICHE DEI FRONTI.

Per tutte le analisi sono stati utilizzati i parametri meccanici di progetto come definito in Tabella 10 e Tabella 11 in funzione della tipologia di approccio/combinazione prevista da legge.

La verifica di tipo planare nel campo bidimensionale ed in condizioni sismiche è stata effettuata tramite il programma *RocPlane della Rocscience*®, il cui criterio adottato per l'analisi, è quello dell'equilibrio limite, criterio di rottura di Mohr-Coulomb.

La base teorica è relativa alle formule ricavate da Hoek & Bray (1981) per cinematismi di origine planare (caso bidimensionale); combinando i fronti di scavo più rappresentativi con le orientazioni dei piani rappresentativi dei sistemi di discontinuità attraverso Test di Markland (grafico) sono stati selezionati i sistemi di discontinuità che possono, anche potenzialmente, attivare cinematismi planari (differenziale delle orientazioni ≤ 20°).

Per l'analisi è stato ipotizzato inoltre, a favore di sicurezza che la direzione di scivolamento e la direzione azimutale della discontinuità siano perfettamente perpendicolari, non tenendo conto del contributo dovuto alla differenza tra le due, che nel caso risulti superiore a 20° esclude l'attivarsi del cinematismo stesso.

Per l'analisi sono stati utilizzati i parametri meccanici di progetto come definito in Tabella 10 e Tabella 11 in funzione della tipologia di approccio/combinazione prevista da legge.

L'analisi dei cinematismi tridimensionali di cunei rocciosi potenzialmente instabili, generati dalla combinazione di due e/o tre sistemi di discontinuità oltre al fronte, oggetto di verifica, è stata eseguita attraverso il programma *B-Rock*® della ProgramGeo che si basa sulla teoria dei blocchi rimovibili di Goodmann & Shi e di valutazione della stabilità di Hoek & Bray (1981).

La teoria analizza, da un punto di vista geometrico, la possibilità reale che la combinazione di più piani (le fratture) isolino su di un dato fronte, di altezza stabilita, volumi geometricamente rimovibili. Nel caso si riconoscano geometrie potenzialmente tali, il programma in automatico effettua una stima analitica delle forze stabilizzanti ed instabilizzanti al fine di definire un fattore di sicurezza (FS).

Allo scopo sono stati utilizzati i valori di persistenza, apertura e spaziatura media modale riferibili a ciascun sistema individuato in base alle caratteristiche ricavate in precedenza.

Il programma B-Rock 2.2 in particolare combina i sistemi di frattura a due a due con il fronte in analisi per poi passare ad inserire un terzo sistema.

Le verifiche sono state condotte in condizioni sismiche ottemperando alle Norme Tecniche per le Costruzioni (NTC), come si nota i parametri utilizzati non sono quelli ridotti, dal

Ing. Giacomo Del Nero Pagina 25 di 49

momento che il programma in automatico applica i coefficienti correttivi previsti dalla Combinazione di Carico 2 delle NTCO8.

Al fine di schematizzare i risultati, sono state redatte per ogni fronte analizzato, delle tabelle riassuntive in cui sono riportati:

- i sistemi coinvolti;
- il peso o volume della massa in gioco;
- il valore del coefficiente di sicurezza compreso tra 0 e 10;
- eventuali note descrittive nelle condizioni potenzialmente instabili (FS≤1).

Poiché il programma B-Rock prende come notazione numerica i vari piani in serie (esempio il sistema K1.1 è indicato come 1, il K1.2 come 2, e via di seguito) si riporta di seguito la tabella di conversione numerazione/sistema discontinuità della cava.

Famiglia B-Rock	Piano discontinuità (imm./incl.)	
1	K <sub>1.1</sub>	057/82
2	K <sub>1.2</sub>	227/82
3	K <sub>2</sub>	146/86
4	K <sub>3</sub>	322/077

Tabella 10: Elenco delle famiglie di discontinuità considerate nel software *B-Rock* per il calcolo dei cinematismi planari, tridimensionali e ribaltamenti.

Affinché si abbia potenziale instabilità per ribaltamento su di un fronte devono essere presenti le seguenti condizioni, codificate da Goodman & Bray (1976):

- Direzione del fronte e direzione degli strati non devono differire per più di 20° (cono di confidenza totale pari a 40°);
- La direzione di immersione degli strati deve essere opposta a quella del fronte in oggetto;
- Lateralmente il fronte deve essere isolato (assenza di continuità laterale del blocco) da altre fratture, dal vuoto o da tagli nel caso di fronti di scavo;
- La normale al piano di ribaltamento deve avere un valore di inclinazione inferiore alla differenza tra l'inclinazione del fronte e l'angolo di attrito lungo i piani (assunto pari all'angolo di attrito medio di base/residuo del materiale 30°).

Tradotta in formula, quest'ultima condizione impone che:

$$(90- \Phi_p) \leq (\Phi_f - \varphi_p)$$

dove:

 $\Phi_{P}$  = inclinazione media rappresentativa del sistemi o del piano in esame;

 $\Phi_{\rm f} = {\rm inclinazione} \ {\rm del} \ {\rm fronte} \ {\rm in} \ {\rm esame};$ 

 $\phi_p$  = angolo di attrito tra i piani.

Pagina 26 di 49 | Ing. Giacomo Del Nero

In particolare queste condizioni, di tipo puramente geometrico, permettono di compiere un test grafico andando a definire in un'area all'interno dello stereogramma i poli di quei piani che potenzialmente potrebbero essere in grado di innescare il fenomeno.

Ulteriore condizione necessaria è la presenza di un sistema di fratturazione od un taglio che, a basso angolo, isoli la base del blocco stesso, permettendogli di ruotare.

L'analisi è stata condotta per tutti i poli dei piani rilevati nello studio strutturale e verrà di seguito descritta andando ad analizzare fronte per fronte. Alla verifica grafica ne è seguita una analitica mediante l'applicazione della formula di Timoshenko e Gere (1961).

#### $1 = 0.868 \, \text{3/Et}_2/\gamma$

dove:

l= altezza massima della bancata stabile

E= modulo dell'ammasso roccioso, Kg/cmq

t= spessore del solido di roccia soggetto a ribaltamento (spaziatura media in metri)

 $\gamma$ = peso di volume della roccia= 2,7 t/mc

#### 6.1. VERIFICHE DEI FRONTI

#### FRONTE ORIENTATO N 045 SUBVERTICALE ESPOSTO NW

#### CINEMATISMI PLANARI

In Tabella 11 si riportano i sistemi soggetti a potenziali scivolamenti planari.

H bancata	SISTEMI	FS	Volume in	Note
		sisma	t/mc/m	
8 m	К3	0.10	6.85	Far coincidere preventivamente fronte e discontinuità evita il
O FI	K3	0.10	0.05	manifestarsi dell'evento.

Tabella 11: Cinematismi planari per il fronte N 045 subvert. esp. NW.

#### CINEMATISMI TRIDIMENSIONALI

In Tabella 12 si riportano le potenziali combinazioni che potrebbero emergere sul fronte in oggetto ed i relativi coefficienti di sicurezza.

Blocco	Comb. Piani	Vol. in	FS	Note
Втоссо	COMD. Plani	mc	sisma	note
				Il blocco tende a perdere contatto con la superficie. Se si forma
3	K1.1-K3	71,10	0,00	procedere a consolidamento o ulteriore verifica.
				Se si forma, nonostante il basso peso statistico di K1.2(9.4%)
5	K1.2-K3	74,49	0,57	procedere a consolidamento o ulteriore verifica.
6	K2-K3	81,25	3,57	
17	K2-K3+K1.1	80,28	3,48	

Tabella 12: Cinematismi tridimensionali per il fronte N 045 subvert. esp. NW.

Ing. Giacomo Del Nero Pagina 27 di 49

#### POTENZIALI RIBALTAMENTI

L'analisi condotta per via grafica (basata esclusivamente sulle caratteristiche geometriche) mostra potenziali ribaltamenti relativi al sistema K2 come evidenziato in Tabella 13 dove vengono riportati anche i risultati ottenuti dall'applicazione della formula di Timoshenko e Gere.

SISTEMI	Spessore volume colonnare medio (t)	Altezza massima volume (1)
K2	1-1.5m	36.7

Tabella 13: Potenziali ribaltamenti per il fronte N 045 subvert. esp. NW.

#### FRONTE ORIENTATO N 045 SUBVERTICALE ESPOSTO SE

#### CINEMATISMI PLANARI

In Tabella 14 si riportano i sistemi soggetti a potenziali scivolamenti planari.

H bancata	SISTEMI	FS sisma	Volume in mc/m	Note
8 m	K2	0.02	2.68	Far coincidere preventivamente fronte e discontinuità evita il
ויו ס	KZ	0.02	2.00	manifestarsi dell'evento.

Tabella 14: Cinematismi planari per il fronte N 050 subvert. esp. SE.

#### CINEMATISMI TRIDIMENSIONALI

In Tabella 15 si riportano le potenziali combinazioni che potrebbero emergere sul fronte in oggetto ed i relativi coefficienti di sicurezza.

Blocco	Comb. Piani	Vol. in	FS	Note
Біоссо	COMD. PIAMI	mc	sisma	note
1	K1.1-K1.2	12.48		
2	K1.1-K2	3.34		
4	K1.2-K2	0.88		Il blocco tende a perdere contatto con la superficie. Il basso peso statistico di K1.2 (9.4%) limita l'estensione del fenomeno. Se si forma procedere a consolidamento, disgaggio o ulteriore verifica.
8	K1.1-K1.2+K3	6.09		

Tabella 15: Cinematismi tridimensionali per il fronte N 045 subvert. esp. SE.

#### POTENZIALI RIBALTAMENTI

L'analisi condotta per via grafica (basata esclusivamente sulle caratteristiche geometriche) mostra potenziali ribaltamenti relativi ai sistemi K3, come evidenziato in Tabella 16 dove vengono riportati anche i risultati ottenuti dall'applicazione della formula di Timoshenko e Gere.

SISTEMI	Spessore volume colonnare medio (t)	Altezza massima volume (1)
К3	0.8-1.2	31.6m

Tabella 16: Potenziali ribaltamenti per il fronte N 45 subvert. esp. SE.

Pagina 28 di 49   Ing. Giacomo Del Nero
---

#### FRONTE ORIENTATO N 0135 SUBVERTICALE ESPOSTO SW

#### CINEMATISMI PLANARI

In Tabella 17 si riportano i sistemi soggetti a potenziali scivolamenti planari ricavati mediante l'analisi grafica.

H bancata	SISTEMI	FS	Volume in	Note	
п рапсаса	2121541	sisma	mc/m	note	
8 m	K1.2	0.05	3.95	Il cinematismo ha basso grado di realizzarsi per il basso peso	
ויו ס	KI.Z	0.05	3.75	statistico del sistema (9.4%).	

Tabella 17: Cinematismi planari per il fronte N 135 subvert. esp. SW.

#### CINEMATISMI TRIDIMENSIONALI

In Tabella 18 si riportano le potenziali combinazioni che potrebbero emergere sul fronte in oggetto ed i relativi coefficienti di sicurezza.

Blocco	Comb.	Vol. in	FS	Note		
Втоссо	Piani	mc	sisma	Note		
				Il basso peso statistico di K1.2(9.4%) limita l'estensione del		
				fenomeno. Se si forma procedere a consolidamento o ulteriore		
4	K1.2-K2	23.11	0.24	verifica.		
5	K1.2-K3	44.33	0.59			
6	K2-K3	100.70	3.87			

Tabella 18: Cinematismi tridimensionali per il fronte N 135 subvert. esp. SW.

#### POTENZIALI RIBALTAMENTI

L'analisi condotta per via grafica (basata esclusivamente sulle caratteristiche geometriche) mostra potenziali ribaltamenti relativi ai sistemi K1.1 come evidenziato in Tabella 19 dove vengono riportati anche i risultati ottenuti dall'applicazione della formula di Timoshenko e Gere.

SISTEMI	Spessore volume colonnare medio (t)	Altezza massima volume (1)
K1.1	0.4-0.8m	21.9 m

Tabella 19: Potenziali ribaltamenti per il fronte N 135 subvert. esp. NE.

## 6.2.EFFETTI DELLE DISCONTINUITÀ SULLA POSIZIONE DEI FRONTI

Allo scopo di rappresentare graficamente l'intervento la Società ha provveduto a far eseguire un aggiornamento dello stato dei luoghi, mediante rilievo plano-altimetrico di dettaglio realizzato in ottemperanza degli OBBLIGHI INFORMATIVI CONNESSI ALL'ESERCIZIO DELL'ATTIVITÀ DI CAVA: Specifiche Tecniche degli Elaborati di Rilievo Tridimensionale ai sensi dell'Art.25 Comma 2bis L.R. 35/15 e s.m.i. (D.G.R. n.260 del 02.03.2020).

Va comunque ricordato che la posizione di ogni singola bancata riportata negli elaborati progettuali è da considerarsi indicativa; in quanto questa è fortemente influenzata dalle caratteristiche della fratturazione locale. Infatti, la presenza di fratture con giacitura inclinata, che interagendo con i fronti e con i contorni del sotterraneo possono sviluppare condizioni cinematiche instabili o potenzialmente tali, responsabili di un arretramento del

Ing. Giacomo Del Nero Pagina 29 di 49

contorno dello scavo, condizione non prevedibile in sede progettuale, e comunque di qualsiasi elaborato programmatico della coltivazione.

Tali "variazioni" dipendono direttamente dal fatto che le fratture ascrivibili ai sistemi di discontinuità principali, (K1.1, K1.2, K2 e K3, vedi Relazione Geomeccanica allegata), sono caratterizzate da valori di inclinazione compresi nel seguente intervallo:

K1.1= 70-89° K1.2= 75-89°	K2= 55-89°	K3= 60-89°
---------------------------	------------	------------

l'esistenza del range d'inclinazione per il singolo sistema di fratturazione, comporta che una bancata (altezza compresa tra 5.0-6.5m) o il contorno allo scavo sotterraneo (compreso tra 5.0-5.5m) può subire arretramenti compresi tra 0.0-3.0 m come riportato nella sottostante tabella:

SISTEMA	ALTEZZA (m)	INCLINAZIONE (°)	ARRETRAMENTO (m)
K1.1	5.0-6.5	70-89	0.0-2.4
K1.2	5.0-6.5	75-89	0.0-1.75
К2	5.0-6.5	60-89	0.0-2.4
К3	5.0-6.5	50-89	0.0-3.8

In relazione a quanto sopra esposta vengono riportati negli elaborati grafici le fasce di tolleranza estrattiva e paesaggistica (retinato verde) al cui interno può variare lo sviluppo della coltivazione, in funzione delle caratteristiche litologiche-strutturali, nonché di errori pratici-accidentali, nel rispetto delle volumetrie di progetto.

#### 7. VERIFICA DEI CANTIERI SOTTERRANEI

Le analisi di stabilità hanno interessato gli elementi strutturali e di contorno ai vuoti sotterranei di progetto e nel dettaglio hanno riguardato, per ciascun cantiere:

- la verifica della copertura minima in funzione delle sollecitazioni a cui è sottoposti in base alle NTC 18;
- l'analisi dei potenziali cinematismi tridimensionali a cui le discontinuità presenti potrebbero dare origine lungo pareti e tetti delle camere e dei tracciamenti;
- la verifica strutturale dei pilastri e dei diaframmi che saranno isolati nel corso della coltivazione sotterranea;
- dimensionamento dell'impianto di ventilazione;

Pagina 30 di 49 | Ing. Giacomo Del Nero

#### 7.1.1. VERIFICA GENERALE DELLA SOLETTA DI COPERTURA

Lo Scaled Span Method elaborato da Carter T.G. (1990) prevede di definire in maniera speditiva le condizioni di stabilità della calotta rocciosa a copertura di uno scavo in relazione alla geometria dello stesso ed alle caratteristiche dell'ammasso roccioso in un campo di validità tridimensionale.

In linea teorica la stabilità della calotta può essere definita attraverso la seguente funzione in relazione alla classificazione dell'ammasso roccioso (bRMR):

$$C_S = S \left( \frac{\gamma}{T(1 + S_R)(1 - 0.4\cos\theta)} \right)^{0.5}$$

Dove

a favore della stabilità: T è lo spessore della calotta;

inclinazione del piano di scistosità,  $S_R = S/L$  è il rapporto di estensione; corrispondente al verso di macchia (35-50)

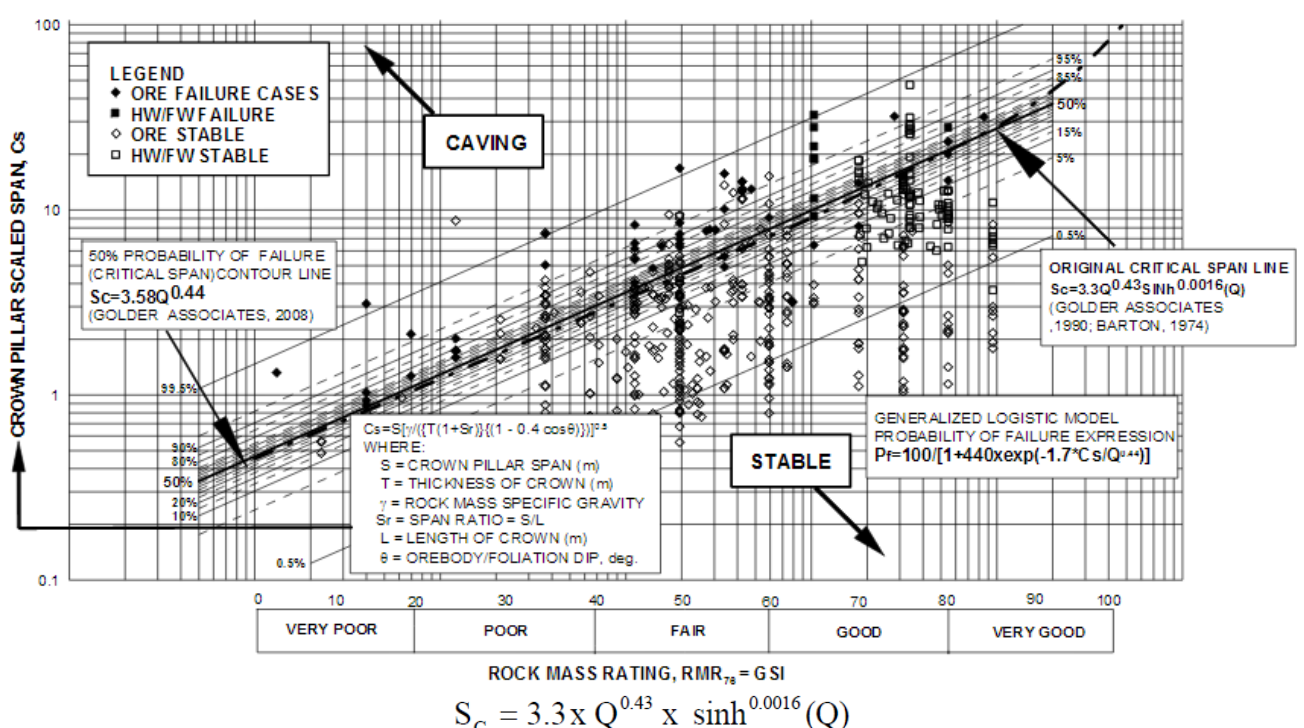
a svantaggio della stabilità:

S è la luce libera della calotta;

lunghezza è del tracciamento;

 $\gamma = 2.7$  ton/mc è il peso specifico.

Il  $C_s$  ottenuto viene confrontato con quello critico  $C_s$ ,  $c_{rit}$  definito dalla Golder Associates (2008), in base alla valutazione di una serie di risultati empirici in sito attraverso la sequente formula:



Dove Q è l'indice di qualità dello scavo (Norwegian Geotechnical Institute) la cui conversione nel bRMR di Bieniawski (1976) è approntata mediante la sequente formulazione:  $RMR_{76} = 9 \ln(Q) + 44$ 

Di seguito si riporta la tabella riassuntiva delle caratteristiche geometriche utilizzate per il calcolo del coefficiente di Carter.

Ing. Giacomo Del Nero Pagina 31 di 49

VERIFICA DELLA CALOTTA DI COPERTURA CANTIERE ATTUALE SOTTERRANEO								
CAVA N39 FOSSA DEGLI ANGELI								
CARATTERISTICHE GEOMETRICHE E PARAMETRICHE DI VERIFICA CAMERE								
PESO SPECIFICO AMMASSO ROCCIOSO γ (ton/mc) 2.70								
ALTEZZA SEZIONE	H (m)	5.50	12.00					
LUCE LIBERA SEZIONE	S (m)	10.00	18.00					
LUNGHEZZA TRACCIAMENTI	L (m)	40.00	100.00					
SPESSORE COPERTURA=CALOTTA	T (m)	30.00	160.00					
PIANO DI FOLIAZIONE MARMO (°) 45.00								

Tabella 20: Caratteristiche geometriche dello scavo e parametri dell'ammasso roccioso utilizzati nelle verifiche delle calotte di copertura per il cantiere sotterraneo CAVA N.39 FOSSA DEGLI ANGELI.

A seguito dell'elaborati dei dati è risultato:

Cs risulta variabile tra 1.39 e 5.38m.

Confrontando i risultati ottenuti con la classificazione geomeccanica del materiale (GSI=69) si nota che il range di variabilità dell'indice è indipendente dall'altezza dei vuoti ed è sempre inferiore limite critico determinato attraverso le metodologie di Barton (1974 e 1976) e della Golder Associates (2008), riportati in Figura 3.

Traducendo i risultati ottenuti in termini di Fattore di Sicurezza si ottiene un alore compreso tra 1.69-6.59.

In tali condizioni si ritiene che le geometrie delle coperture rocciose attuali siano idonee ad auto-portarsi sopra i vuoti del cantiere sotterraneo attuale.

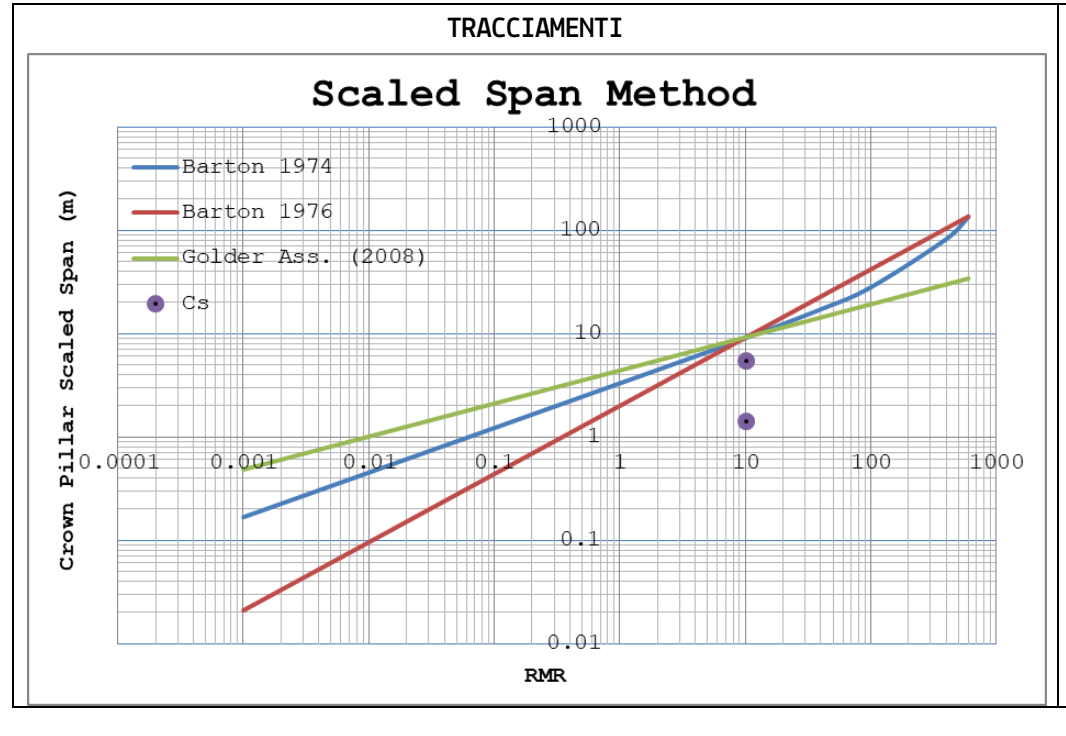


Figura 3: Scala bilogaritmica dell'intervallo di variabilità del Crown Pillar Scaled Span (Cs) confronto con limiti di criticità (Barton 1974, 1976 e Golder Ass. 2008) per il cantiere sotterraneo della Cava n.39 Fossa degli Angeli.

## 7.2.ANALISI STATISTICA DEI CUNEI TRIDIMENSIONALI

Per l'analisi dei cunei tridimensionali potenzialmente instabili nei cantieri sotterranei sono stati considerate le massime geometrie previste dal piano di coltivazione per i tracciamenti aventi le caratteristiche di.

VERIFICHE (	CUNEI 3D	TRACCIAMENTI-CAM	ERE CANTIERI				
SOTTERRANEI CAVA N39 FOSSA DEGLI ANGELI							
NUM	TREND/PLUNGE	BASE	ALTEZZA				
T1	045-225/0	10.0-18.0	12.0				
T2	135-315/0	10.0-18.0	12.0				

Tabella 21: Caratteristiche geometriche dei tracciamenti e delle camere di coltivazione

L'analisi ha permesso di definire le dimensioni massime di tutti i potenziali cinematismi che si verrebbero a creare nel corso della realizzazione dei vari cantieri.

Dal momento che tutti i cantieri sotterranei devono ancora essere aperti la realizzazione dei tracciamenti esplorativi permetterà di scoprire eventuali situazioni potenzialmente instabili prima che queste raggiungano dimensioni ingestibili, ovvero intervenire mediante interventi di consolidamento, riduzioni delle luce libere autorizzate o realizzazione di sostegni supplementari.

#### 7.2.1. TRACCIAMENTO N 045-225/00

In Tabella 26 si riportano le verifiche relative al tracciamento 045-225/00.

COMBINAZIONE		70114	FC	V (MC)	NOTE	
Joint_A	Joint_B	Joint_C	ZONA	FS		
K1.1	K1.2	K2	TETTO	0.034	12353.84	Il basso peso statistico di K1.2 (9.4%) rende difficile il
K1.1	K1.2	K2	PARETE W	0.069	10.027	manifestarsi del cinematismo. Se si forma procede a
K1.1	K1.2	K2	PARETE E	0.089	10.027	consolidamento, disgaggio e/o verifica
K1.1	K2	К3	PARETE W	0.069	6.986	Se si forma procede a consolidamento e/o verifica
K1.1	K2	К3	PARETE E	8.543	6.986	
						Il basso peso statistico di K1.2 (9.4%) rende difficile il manifestarsi del cinematismo. Se si forma procede a
K1.2	К2	К3	PARETE W	0.069	43.751	consolidamento, disgaggio e/o verifica

Tabella 22: Verifica dei volumi potenzialmente instabili per il tracciamento 045-225/00 NE-SW.

## 7.2.2. TRACCIAMENTO N 135-315/00

In Tabella 23 si riportano le verifiche relative al tracciamento 0135-315/00.

COMBINAZIONE		70114	FS	V (MC)	NOTE	
Joint_A	Joint_B	Joint_C	ZONA	F3	V (MC)	NOTE
K1.1	K1.2	K2	TETT0	0.034	119.69	Il basso peso statistico di K1.2 (9.4%) rende difficile il
						manifestarsi del cinematismo. Se si forma procede a consolidamento,
K1.1	K1.2	К3	TETT0	0.113	13.05	disgaggio e/o verifica
K1.1	K2	К3	TETTO	0.113	7.449	Se si forma procede a consolidamento e/o verifica
K1.2	K2	К3	PARETE W	0.034	2.172	Il basso peso statistico di K1.2 (9.4%) rende difficile il
						manifestarsi del cinematismo. Se si forma procede a consolidamento,
K1.2	К2	К3	PARETE E	0.195	2.172	disgaggio e/o verifica

Tabella 23: Verifica dei volumi potenzialmente instabili per il tracciamento 135-315/00 NW-SE.

Ing. Giacomo Del Nero Pagina 33 di 49

## 7.2.3. OSSERVAZIONI AI CINEMATISMI TRIDIMENSIONALI

Le verifiche sopra riportate hanno evidenziato che i tracciamenti, nonostante siano stati contemplati al fine di interferire il meno possibile con l'assetto geostrutturale dell'ammasso roccioso, generano potenziali cinematismi tridimensionali.

In particolare per tutti i tracciamenti si riscontrano potenziali distacchi di volumi a causa della combinazione del sistema del contro con i secondi. Tali volumi potenzialmente instabili si intendono ancora da formarsi, mentre nelle camere esistenti allo stato attuale i cunei potenzialmente instabili si sono già formati nella fase di avanzamento inziale dei tracciamenti e pertanto si deve ritenere che siano già stati o siano in procinto di essere messi in sicurezza per mezzo di disgaggio o consolidamento e se cosí non fosse si ritiene necessaria almeno un'ulteriore verifica deterministica specifica.

Per tutte le terne di combinazione si deve comunque prestare la massima cautela in fase di coltivazione o avanzamento dei tracciamenti e seguendo le considerazioni esposte in precedenza procedere ad eventuali verifiche di dettaglio in funzione di quanto riscontrato in sito.

#### 7.3. VERIFICHE STRUTTURALI DEI PILASTRI E DEI DIAFRAMMI

Il dimensionamento strutturale dei vuoti sotterranei si basa fondamentalmente su formulazioni empiriche che tengono in considerazione la qualità dell'ammasso roccioso, il che le rende difficilmente applicabili ad altre tipologie geologiche differenti da quelle indagate per calibrare le stesse formule.

Per superare tale problematica Gonzalez-Nicieza et al.i hanno realizzato una pubblicazione comparativa di tutte le formulazioni empiriche (2006) ed hanno ricavato due formule generali, valide per ogni tipologia di ammasso, che tenessero conto sia della classificazione geomeccanica, per valutare la resistenza a compressione; sia della presenza di discontinuità persistenti, per valutare l'eventuale resistenza a taglio lungo il piano di fratturazione.

Dal momento che gli elementi strutturali non sono ancora stati realizzati, la verifica relativa alla resistenza tangenziale, deve essere rimandata ad un secondo momento, quando la ditta operante nella Cava inizierà ad isolare gli elementi di sostegno.

Per meglio valutare l'effettiva condizione strutturale risulta più semplice tradurre le formule di resistenza in un fattore di sicurezza dato dal rapporto tra l'effettiva sollecitazione agente sull'elemento e la resistenza dell'elemento alla stessa.

La resistenza a compressione (Rc) è direttamente proporzionale alla resistenza a compressione uniassiale dell'elemento strutturale, tenendo ovviamente in considerazione l'effetto scala che sussiste tra il provino di laboratorio e l'elemento da verificare.

Le formulazioni empiriche classiche, tuttavia, non tengono conto della qualità dell'ammasso roccioso che può essere più o meno fratturato ed influenzare direttamente la resistenza.

Pagina 34 di 49 | Ing. Giacomo Del Nero

Per ovviare a tale problematica, Sheorey (1997) ha proposto una formula nella quale l'effetto scala introdotto per la resistenza del pilastro diventasse funzione dell'indice RMR di Bieniawski, e nel caso in esame, mediante le opportune conversioni, del GSI di Hoek. Dal momento che si è già provveduto ad eseguire una stima della resistenza dell'ammasso roccioso mediante il software Rocdata® e che la resistenza a compressione è indipendente dalla geometria degli elementi analizzati, per tutti i cantieri sotterranei la resistenza a compressione utilizzata è di 8.85MPa (6.32MPa ridotta da NTC18).

Il carico agente sul pilastro viene calcolato attraverso la Teoria delle Aree Tributarie che richiede una regolarità in pianta, uno spessore di calotta superiore all'altezza dei pilastri e non tiene in considerazione l'effetto arco.

Il carico medio del pilastro  $\sigma_{v0}$  risulta pertanto:

$$\sigma_{vo} = rac{Wt_{pi}}{A_{pi}} = rac{\gamma \left(A_{pi} \; h_{pi} + A_{cpi} \; h_{cpi}
ight)}{A_{pi}}$$

Dove:  $Wt_{pi}$  (MN) è il carico verticale totale gravante alla base del pilastro i-esimo;

A<sub>pi</sub> (mq) è l'impronta in pianta reagente dell'elemento i-esimo;

 $\gamma$  =0.0265 (KN/m<sup>3</sup>) è il peso specifico del materiale costituente calotta e pilastro;

h<sub>pi</sub> (m) è l'altezza media dell'elemento i-esimo;

A<sub>cpi</sub> è l'impronta in pianta dell'area tributaria dell'elemento i-esimo (in mq);

 $h_{cpi}$  (m) è lo spessore dell'area tributaria gravante sull'elemento i-esimo.

Tenendo conto delle dovute considerazioni, sopra elencate, il fattore di sicurezza del pilastro soggetto a compressione viene definito come il rapporto tra la resistenza a compressione  $R_c$  e la tensione verticale media  $\sigma_{vo}$  che il pilastro deve sorreggere:

$$FS_c = \frac{R_c}{\sigma_{vo}}$$

Per effettuare le verifiche in condizioni sismiche è stata considerata la condizione più gravosa per la stabilità, ovvero con accelerazione sismica verticale verso il basso in modo da incrementare le sollecitazioni a compressioni agenti sugli elementi strutturali.

La verifica delle opere strutturali del cantiere sotterraneo è stata eseguita pertanto agli stati limite SLU e SLV nella consapevolezza che gli stati limite ultimi restituiscano valori in termini di tensioni e deformazioni più gravosi rispetto agli stati limite di esercizio.

Per le opere in sotterraneo intese come i contorni a vuoti dello scavo in progetto il Cap.6.7.5 NTC18 impone che le verifiche globali agli stati limite ultimi vengano eseguiti secondo la COMBINAZIONE 2 (A2+M2+R2) dell'APPROCCIO 1 con valori dei coefficienti parziali di resistenza R1 ed R2 unitari.

Anche se la norma nulla dice in relazione alle verifiche sismiche, si è ritenuto a scopo cautelativo di inserire il contributo sismico all'interno delle verifiche effettuate secondo l'approccio A2+M2+R2 considerando tutti i coefficienti parziali di resistenza unitari.

Ing. Giacomo Del Nero Pagina 35 di 49

All'interno della Cava n.39 Fossa degli Angeli ed a confine con la Cava n.40, oltre agli attuali pilastri PMCL1, PMCL2 e PMCL3 si verranno a realizzare i pilastri PMCL4 unito a PLF3 come sotto illustrato.

In relazione alla possibile variazione della geometria della struttura in relazione alle condizioni geostrutturali locali e non prevedibili al momento si è scelto di considerare le condizioni più sfavorevoli dal punto di vista della sicurezza, ovvero:

- sezione reagente minima;
- altezza della sezione reagente massima;
- copertura media massima (stato attuale);
- area tributaria massima.

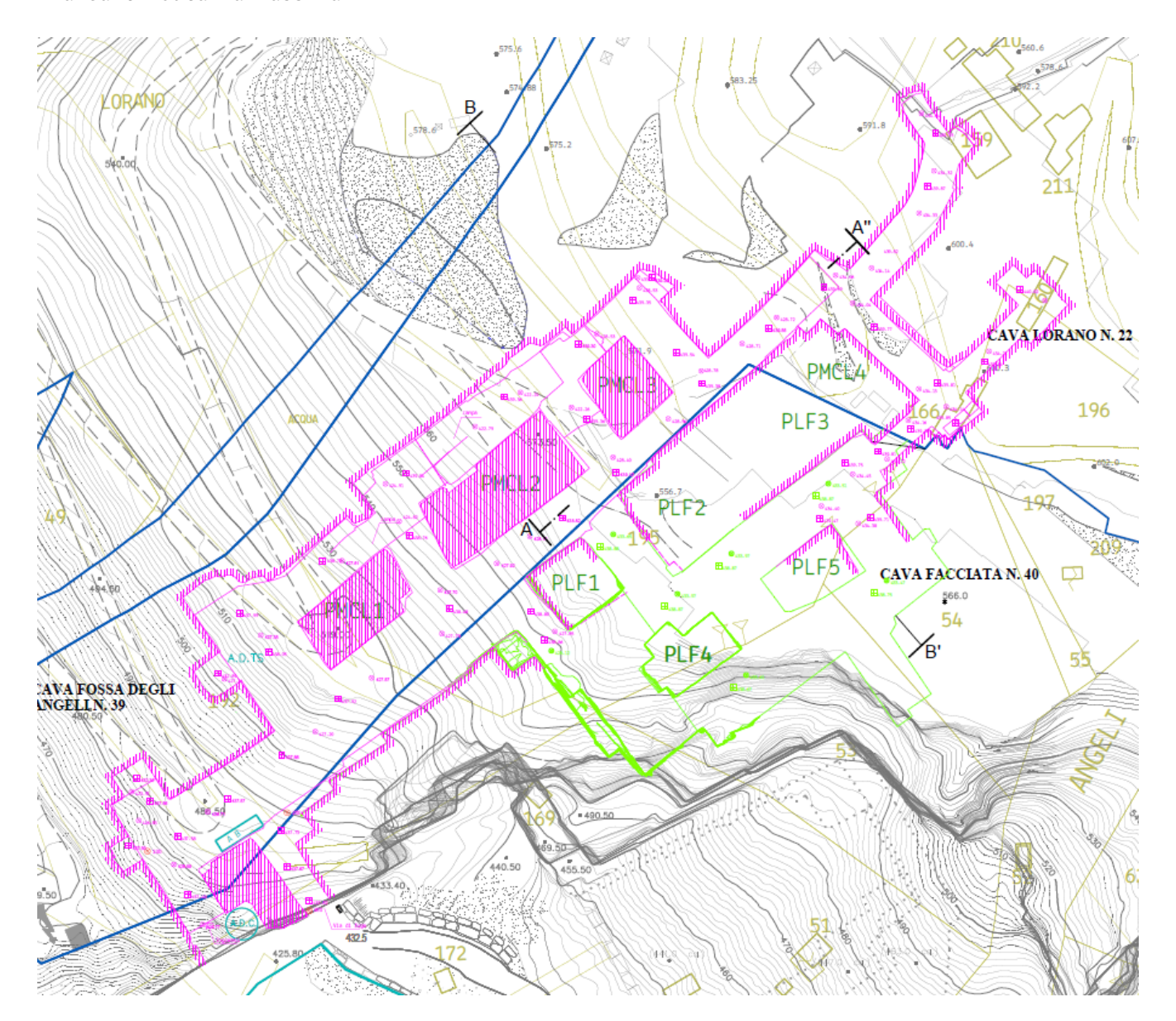


Figura 4: stralcio non in scala di Tav.8b planimetria stato di variante. In magenta cantiere sotterraneo cava 39, in verde chiaro cantiere sotterraneo cava 40. PMCLnum pilastri della Cava 39, PLFnum pilastri della Cava 40.

Nella successiva tabella vengono riassunte le verifiche, secondo la pubblicazione di Gonzalez-Nicieza et al.i (2006), effettuate per i pilastri allo stato attuale e di progetto.

STATO ATTUALE PILASTRO	Sup min (mq)	Altezza max (m)	Area Trib (mq)	Spessore medio (m)	Carico Verticale (MN)	Sollecitazione (Mpa)	FS	Fssisma
PMCL1	430.00	12.00	1400.00	90.00	3475.74	8.08	1.6939	1.71039
PMCL2	730.00	12.00	1690.00	120.00	5606.34	7.68	1.7829	1.80018
PMCL3	260.00	12.00	820.00	120.00	2690.28	10.35	1.3233	1.33613
PLF2		NON ESISTENTE						
PMCL4/PLF3 NON ESISTENTE								
STATO ATTUALE PILASTRO	Sup min (mq)	Altezza max (m)	Area Trib (mq)	Spessore medio (m)	Carico Verticale (MN)	Sollecitazione (Mpa)	FS	Fssisma
PMCL1	430.00	18.00	1400.00	90.00	3544.11	8.24	1.7277	1.67739
PMCL2	730.00	18.00	1690.00	120.00	5722.41	7.84	1.8166	1.76367
PMCL3	260.00	18.00	820.00	120.00	2731.62	10.51	1.3554	1.31591
PLF2	490.00	18.00	1290.00	120.00	4335.93	8.85	1.6093	1.56238
PMCL4/PLF3	1010.00	18.00	2120.00	150.00	8908.77	8.82	1.6144	1.56739

Dalle analisi tutti gli elementi di sostegno risultano verificati sia in condizioni statiche che sismiche con fattori di sicurezza sempre superiori a FSmin=1.30.

Gli elevati spessori ancora presenti al di sotto del cantiere Fossa degli Angeli della Cava n.22 Lorano, fanno ritenere che almeno per questa fase progettuale non possano sussistere potenziali interferenze tra le attività estrattive.

Ing. Giacomo Del Nero Pagina 37 di 49

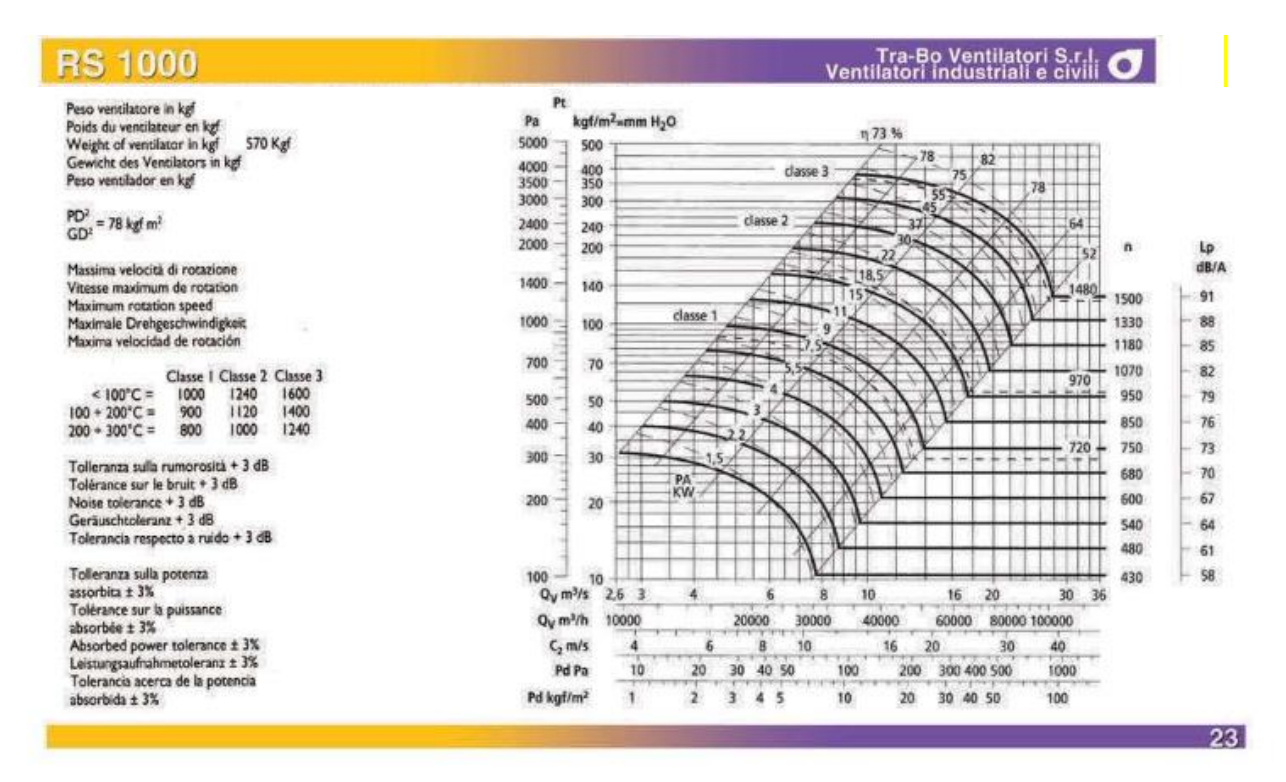
#### 7.4.PROGETTO IMPIANTO DI VENTILAZIONE

#### 7.4.1. IMPIANTO DI VENTILAZIONE ESISTENTE

L'impianto di ventilazione esistente è rappresentato in arancio di seguito. Il ventilatore modello RS1000 è collocato nella spalla destra dell'accesso secondario a q. 433.40m s.l.m.. Da questo diparte una condotta tubolare di diametro 1000mm che percorre il diaframma compreso tra il cielo aperto e la camera principale.

In corrispondenza del termine del corridoio comune la tubazione subisce una prima biforcazione con conseguente riduzione di sezione a 800mm al fine di ventilare il cantiere sotterraneo della Cava n.40 "La Facciata" verso SE e della Cava n.39 "Fossa degli Angeli" verso NW.

In corrispondenza del pilastro PMCL3 la tubazione subisce una seconda biforcazione che permette di raggiungere il ramo NE di lavorazione ed il ramo NE fermo in modo da generare una corrente d'aria inversa.



Pagina 38 di 49

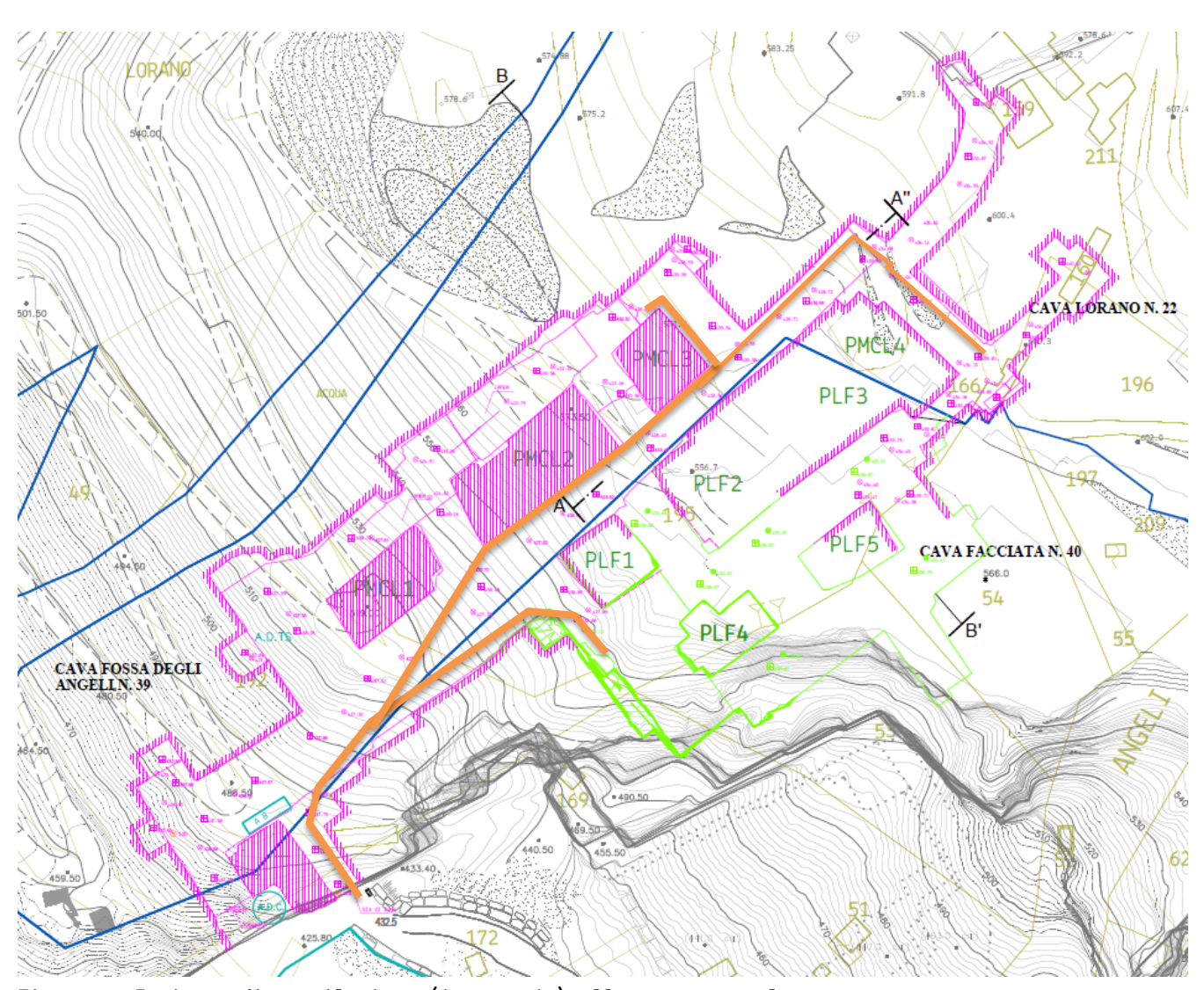


Figura 5: Impianto di ventilazione (in arancio) allo stato attuale.

#### 7.4.2. IMPIANTO DI VENTILAZIONE DI PROGETTO

Nella variante non si prevede si proseguire i tracciamenti "ciechi", ma di coltivare esclusivamente le camere già realizzate ove è già presente l'impianto di ventilazione.

In ragione di dette previsioni progettuali l'impianto di ventilazione non necessiterà di ulteriori modifiche rispetto allo stato attuale.

Ing. Giacomo Del Nero Pagina 39 di 49

## 7.5.MONITORAGGI STRUTTURALI

All'interno del cantiere sotterraneo è ad oggi presente un sistema di monitoraggio delle deformazioni rigide in corrispondenza dei pilastri P7, P9, del diaframma D1, del Pilastro P1 e del portale di accesso, con quest'ultimi nell'area in disponibilità della Cava n.40. In relazione all'attuale sistema di monitoraggio, gestito dall'Ing. Gardenato, si conclude che "le determinazioni condotte attraverso i 26 trasduttori di spostamento a corde vibranti che compongono le 8 postazioni di misura attive, paiono non segnalare alcun movimento in atto degno di nota."

Carrara, 10.10.2025

Il Legale Rappresentante Sig. Mario ROSSI Il Tecnico

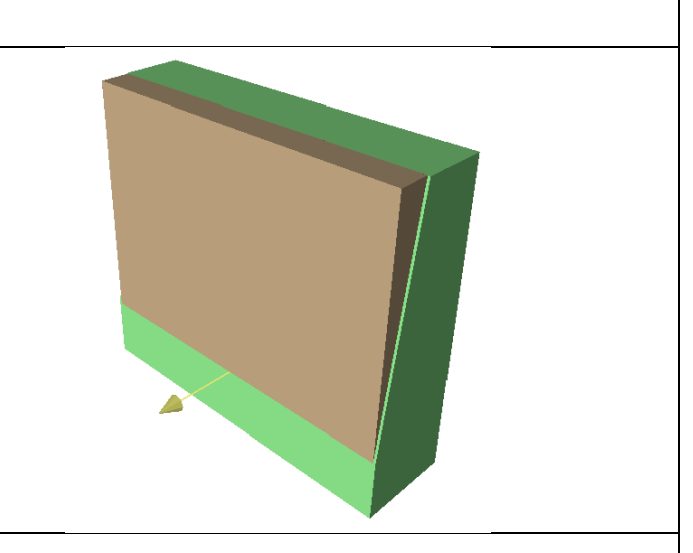
Dott. Ing. Giacomo DEL NERO

## ALLEGATI

# ALLEGATO 1A: VERIFICHE CINEMATISMI PLANARI (ROCPLANE ®)

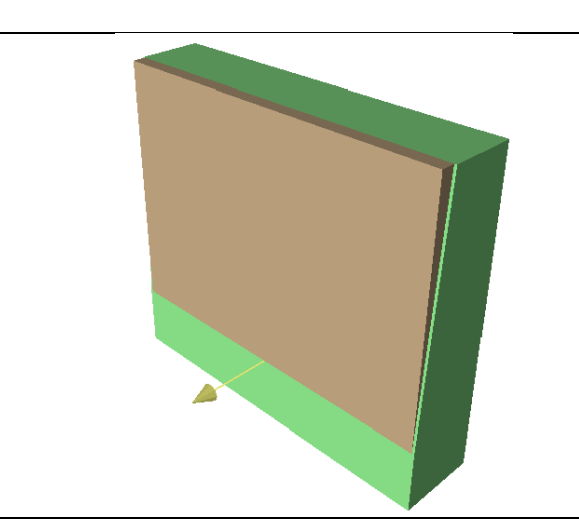
#### SISTEMA K1

Factor of Safety	0.05
Driving Force	10.64t/m
Resisting Force	0.51t/m
Wedge Weight	10.66t/m
Wedge Volume	3.95m^3/m
Shear Strength	0.51t/m^2
Normal Force	0.85t/m
Seismic Force	0.64t
Plane Waviness	0.0°



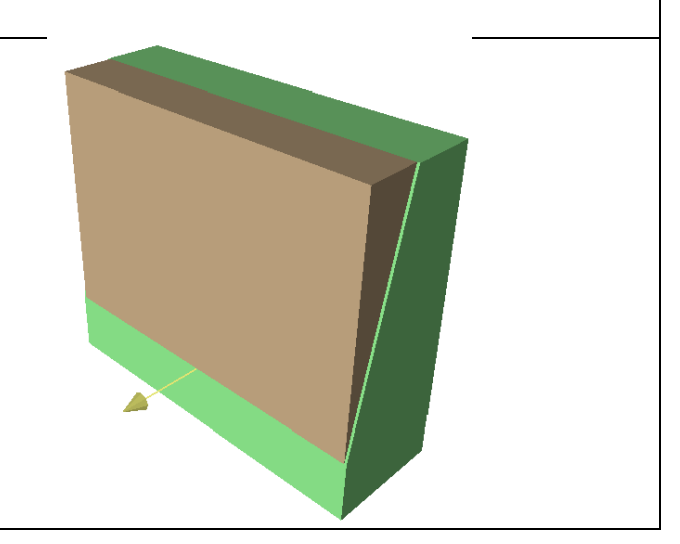
#### SISTEMA K2

Factor of Safety	0.01
Driving Force	4.55t/m
Resisting Force	0.03t/m
Wedge Weight	4.54t/m
Wedge Volume	1.68m^3/m
Shear Strength	0.03t/m^2
Normal Force	0.04t/m
Seismic Force	0.27t
Plane Waviness	0.0°



#### SISTEMA K3

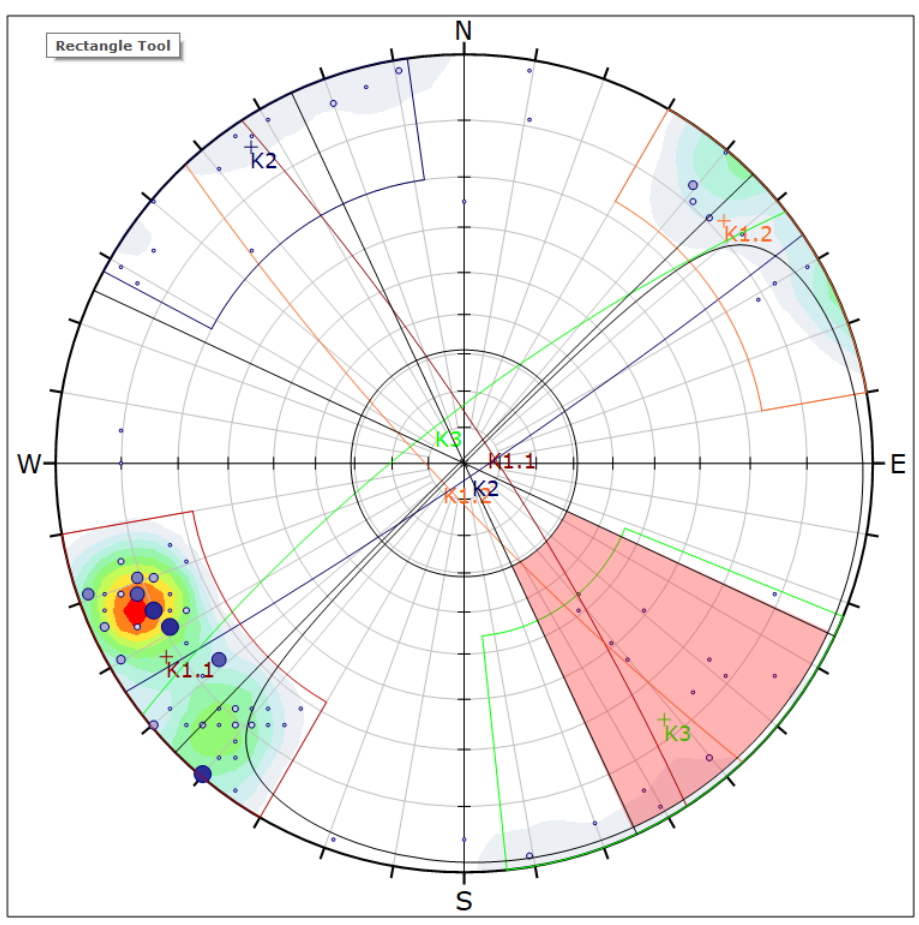
Factor of Safety	0.10
Driving Force	18.28t/m
Resisting Force	1.85t/m
Wedge Weight	18.51t/m
Wedge Volume	6.85m^3/m
Shear Strength	1.85t/m^2
Normal Force	3.08t/m
Seismic Force	1.11t
Plane Waviness	0.0°



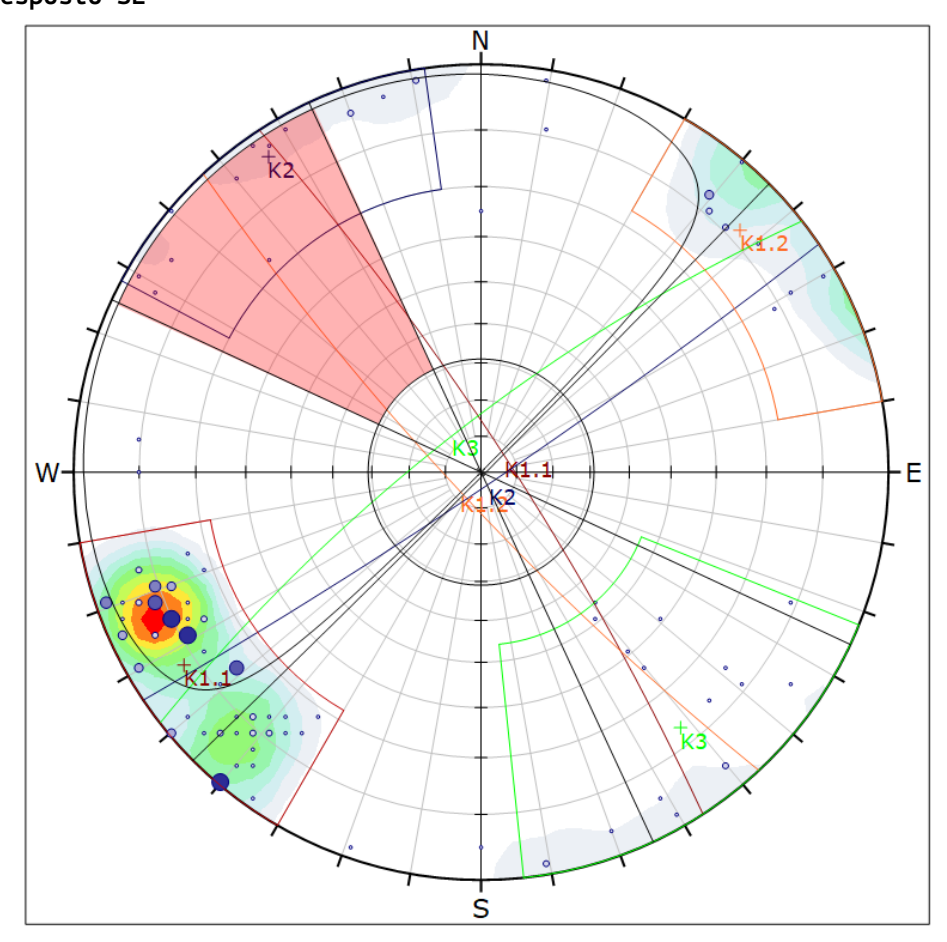
Ing. Giacomo Del Nero Pagina 41 di 49

## ALLEGATO 1B: VERIFICHE CINEMATISMI PLANARI (TEST DI MARKLAND)

## FRONTE N 045 esposto NW



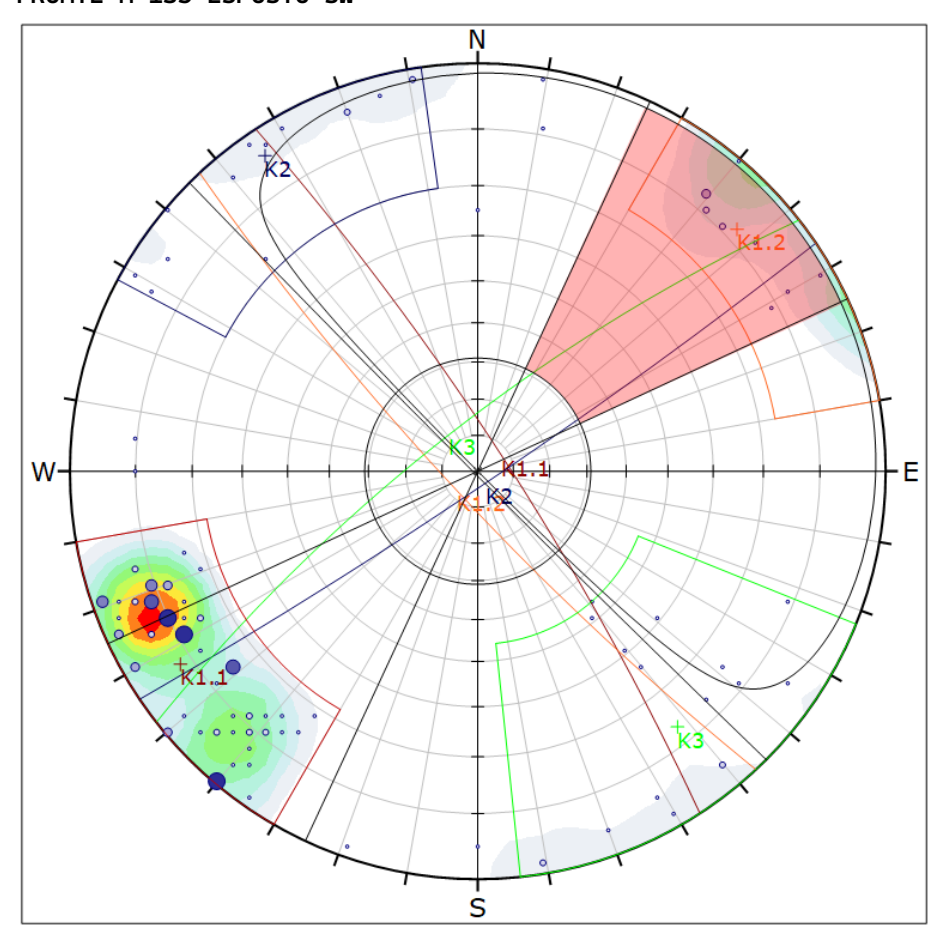
FRONTE N 045 esposto SE



Pagina 42 di 49

Ing. Giacomo Del Nero

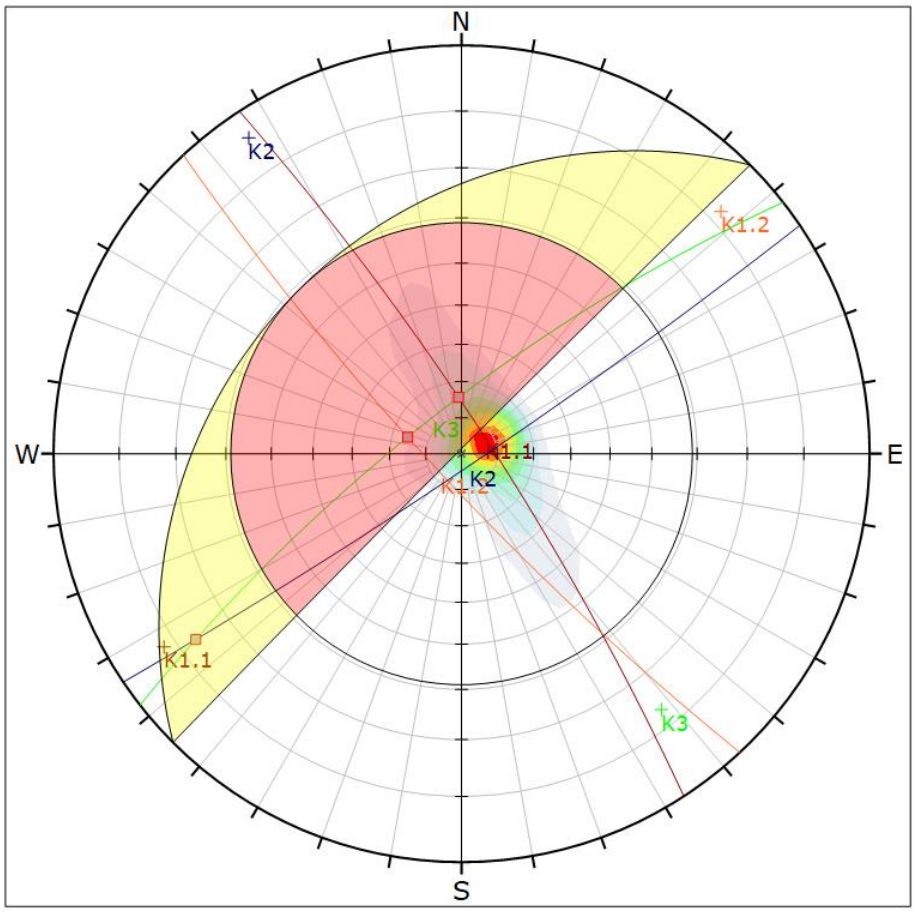
## FRONTE N 135 ESPOSTO SW



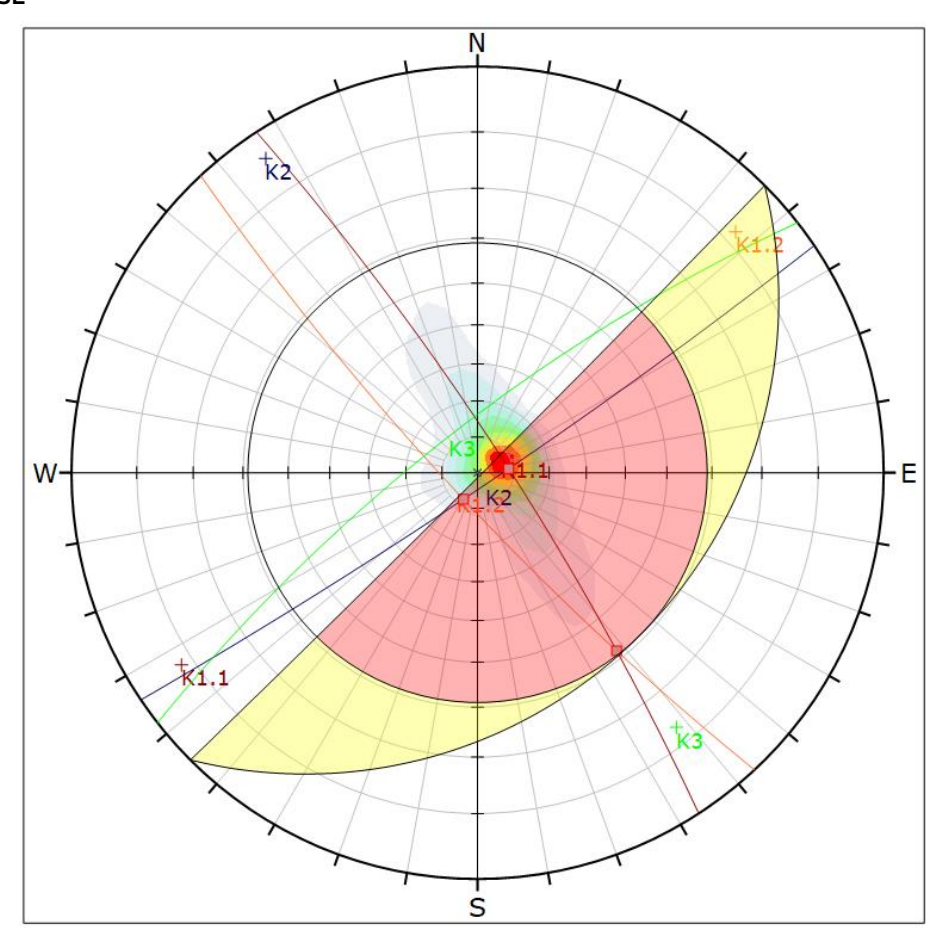
Ing. Giacomo Del Nero Pagina 43 di 49

## ALLEGATO 1C: VERIFICHE CINEMATISMI TRIDIMENSIONALI (TEST DI MARKLAND)

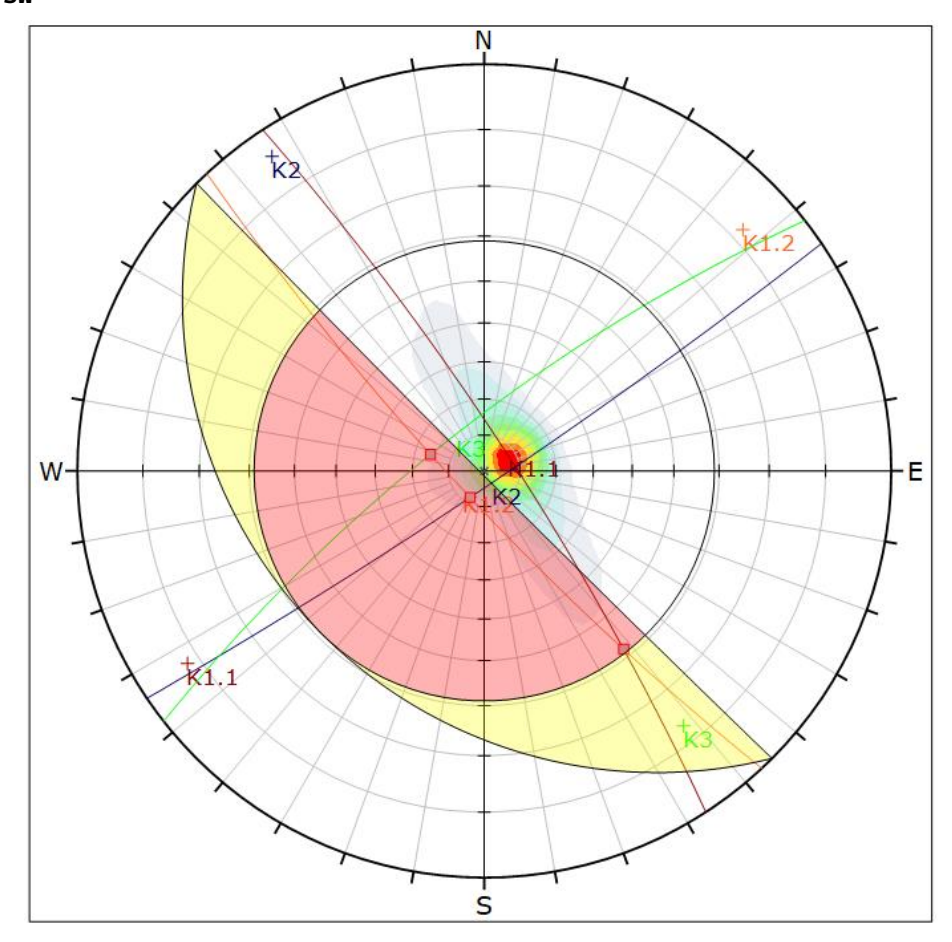
#### FRONTE N 045 NW



#### FRONTE N 045 SE



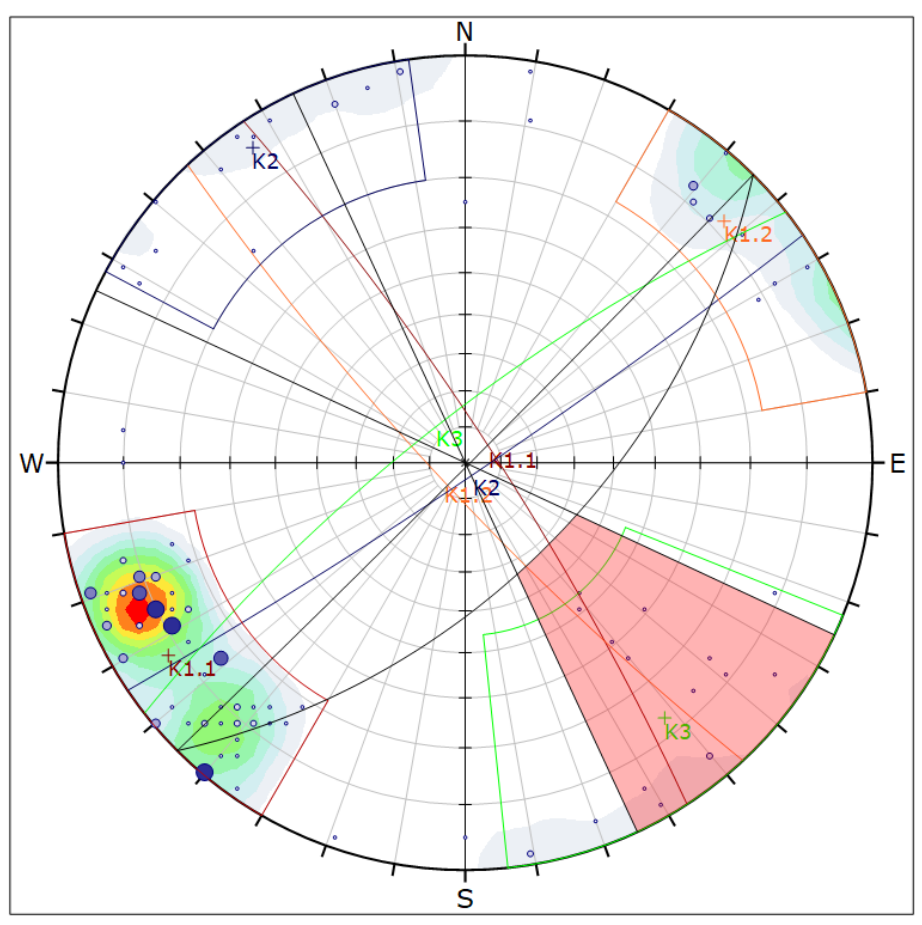
## FRONTE N 135 SW



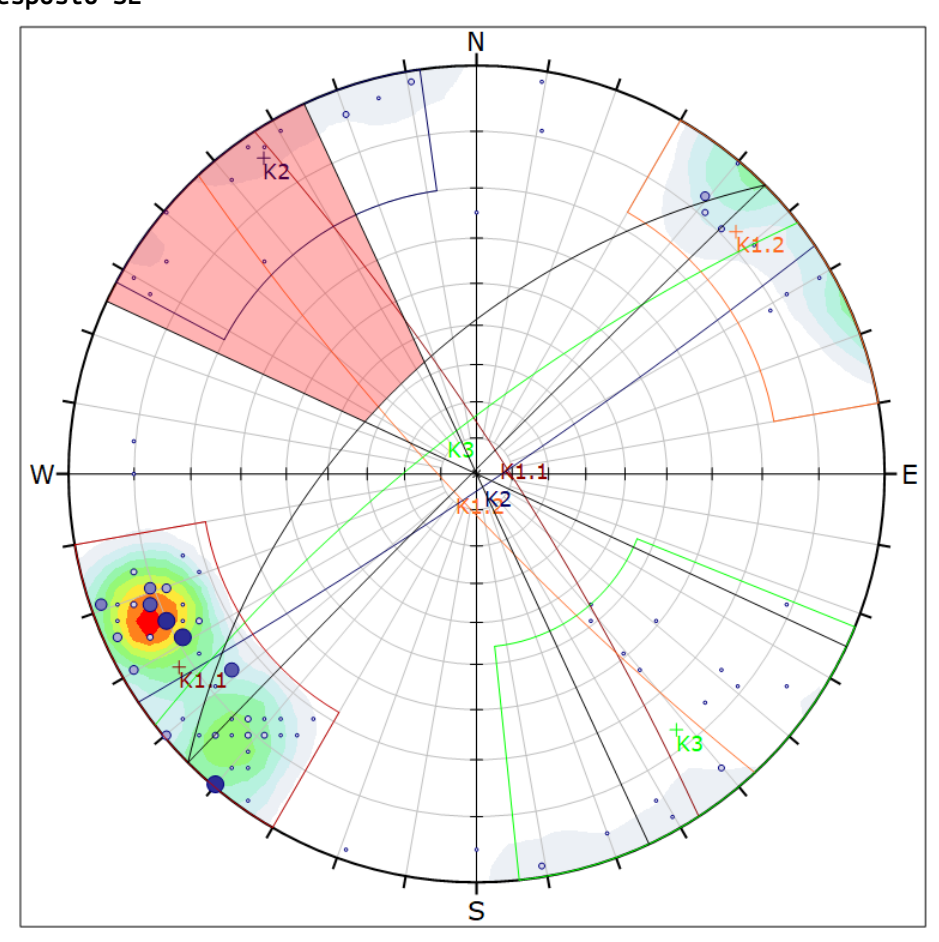
Ing. Giacomo Del Nero Pagina 45 di 49

## ALLEGATO 1D: VERIFICHE TOPPLING (TEST DI MARKLAND)

## FRONTE N 045 esposto NW



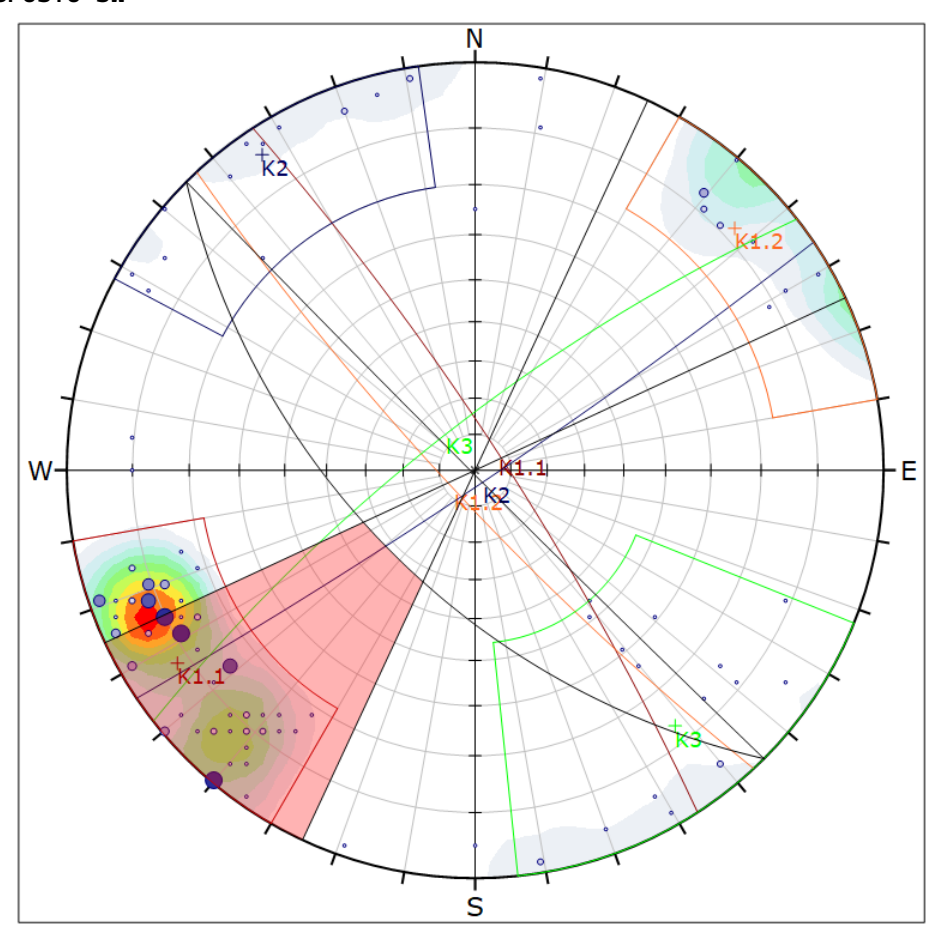
FRONTE N 045 esposto SE



Pagina 46 di 49

Ing. Giacomo Del Nero

## FRONTE N 135ESPOSTO SW



Ing. Giacomo Del Nero Pagina 47 di 49

## APPENDICE A: CLASSIFICAZIONE GEOMECCANICA

PAR	AMETRI	CAMPO	VALORI						
	Resistenza	Carico di punta	>100 Kg/cmq	40-100 Kg/cmq	20-40 Kg/cmq	10-20 Kg/cmq	non app	olicabile	9
1	roccia	Compressione uniassiale	>2500 Kg/cmq	>1000- 2500 Kg/cmq	500-1000 Kg/cmq	250-500 Kg/cmq	50-250 Kg/cmq		>10 Kg/cmq
	INDICE		15	12	7	4	2	1	0
2	RQD		90-100%	75-90%	50-75%	25-50%	<25%		
	INDICE		20	17	13	8	3		
3	SPAZIATURA		>2 m	0.6-2 m	200-600 mm	60-200mm	<60 mm		
	INDICE		20	15	10	8	5		
4			Superfici molto scabre non continue. Pareti roccia dura	Superfici scabre Apertura <1 mm Pareti roccia dura	Superfici scabre Apertura < 1mm Pareti roccia alterata	Superfici Lisce o laminate o riempimento <5mm o apertura 1-5 mm Giunti continui	spessore > 5 mm o giunti aperti > 5 mm		> 5 mm
	INDICE		30	25	20	10	0		
		Afflusso per 10 m lunghezza tunnel	Assente	<10	10-25 litri/min	25-125 litri/min	>125 13	itri/min	
5	CONDIIONI IDRAULICHE	Rapp.: tra Pressione acqua nei giunti su sol. Nat. In situ	0	<0.1	0.1-0.2	0.2-0.5	<	0.5	
		Condizioni generali	Complet. Asciutto	Debol. Umido	Solo umidità	Acqua in debole pressione	Severi idrauli	ici	problemi
	INDICE		15	10	7	4	0		

Tabella 24: Parametri di classificazione degli ammassi rocciosi (After Bienawski, 1989).

$N = \Sigma$ ni	0-21	21-40	41-60	61-80	81-100
CLASSE	V	IV	III	II	I
QUALITA'	molto				
DELLO	scadente	scadente	discreta	buona	ottima
AMMASS0					
c Kg/cmq	>1.0	1.0-2.0	2.0-3.0	3.0-4.0	>4.0
φ	<15°	15°-25°	25°-35°	35°-45°	>45°
GIUDIZIO SULLE DIFFICOLTA' DELLO SCAVO	nessuna difficoltà	può essere scavato facilmente frammentazione notevole	discrete difficoltà	si cava con difficoltà frammenti di notevoli dimensioni	notevoli difficoltà di scavo
Т	30 min	10 ore	7 giorni	1 anno	20 anni
L	1 m	2.5 m	5 m	10 m	15 m

Tabella 25: Classificazione degli ammassi rocciosi (After Bienawski, 1989).

## APPENDICE B: PARAMETRI DI PERICOLOSITÀ SISMICA

19/01/22, 21:56

EdiLus-MS - Servizio Rilevazione Pericolosità Sismica - ACCA software

# **EdiLus-MS**

## Mappe Sismiche

EdiLus-MS è il software ACCA per individuare la pericolosità sismica di località italiane direttamente dalla mappa. Scrivi l'indirizzo e/o sposta il sito che ti interessa e otterrai dinamicamente tutti i parametri di pericolo

ad es. "Contrada Rosole, 13 BAGNOLI IRPINO"

CAVA 39 FOSSA DEGLI ANGELI



Latitudine (WGS84)	Lo	ngitudine	(WGS84	)
44.10357694	10	0.12238	961	4
Latitudine (ED50)	Lo	ngitudine	(ED50)	
44.105342	10	0.12347		
Altitudine (mt)				439
II: Costruzioni il cui us	so preved	a normal	i affollan	nenti 🗸
Vita Nominale Struttura .			50	· •
Vita Nominale Struttura . Periodo di Riferimento p				50
	er l'azione	sismica .		
Periodo di Riferimento p	er l'azione	sismica .		
Periodo di Riferimento p Parametri di perico	er l'azione olosità S T <sub>r</sub>	sismica . Ismica a <sub>g</sub> /g	F <sub>o</sub>	50 T*c
Periodo di Riferimento p Parametri di period Stato Limite	er l'azione olosità S T <sub>r</sub> [anni]	sismica . Ismica a <sub>g</sub> /g [-]	F <sub>0</sub> [-]	50 T*c [s]
Periodo di Riferimento p Parametri di period Stato Limite Operatività	er l'azione olosità S T <sub>r</sub> [anni] 30	sismica .  Ismica a <sub>g</sub> /g [-] 0.051	F <sub>o</sub> [-] 2.450	T*c [s] 0.240

Termini e Condizioni di utilizzo di EdiLus-MS



44.11369206, 10.15436613



https://www.acca.it/edilus-ms/

Ing. Giacomo Del Nero Pagina 49 di 49